

TAVOLA LI.

SPIEGAZIONE DELLE FIGURE.

Atrechodillo matronivagus ARCANDELLI.

Fig. 105. — Antenna destra. Vista dal lato ventrale
(x 90).

Fig. 106. — Basipodite, ischiopodite, meropodite e car-
popodite del 7° pereopode destro del
vinto dal lato rostrale (x 90).

A. ARCANDELLI del.

LI AJOVAT

SPIEGAZIONE DELLE FIGURE.

Atracheodillo marmorivagus ARCANGELI.

Fig. 105. — Antenna destra. Vista dal lato ventrale (x 90).

Fig. 106. — Basipodite, ischiopodite, meropodite e carpopodite del 7° pereiopode destro del σ , visto dal lato rostrale (x 90).

A. ARCANGELI del.

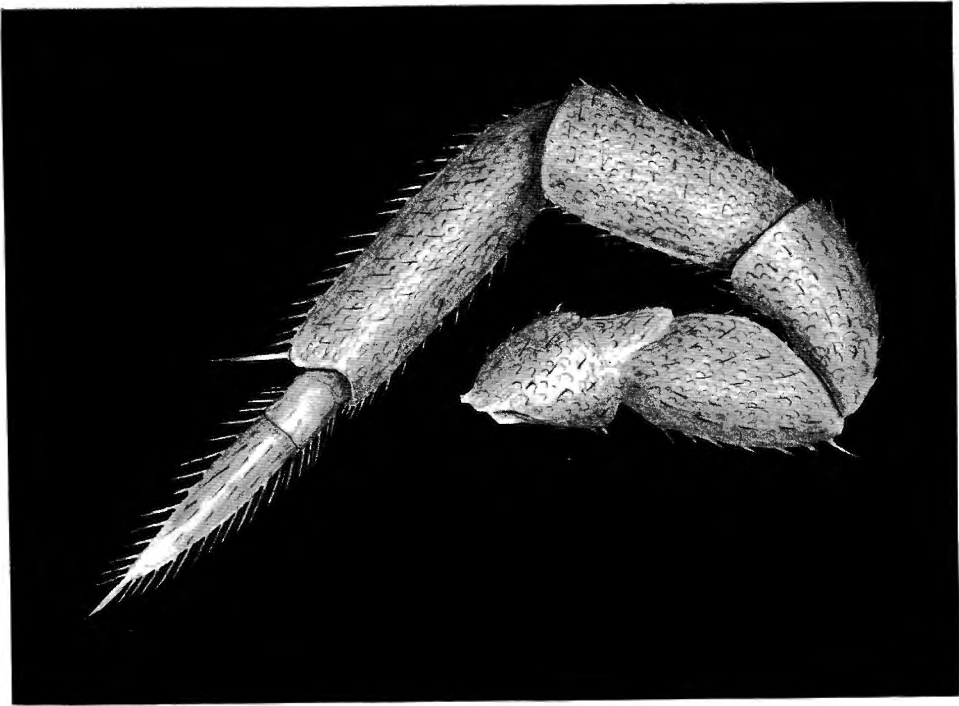


Fig. 105.

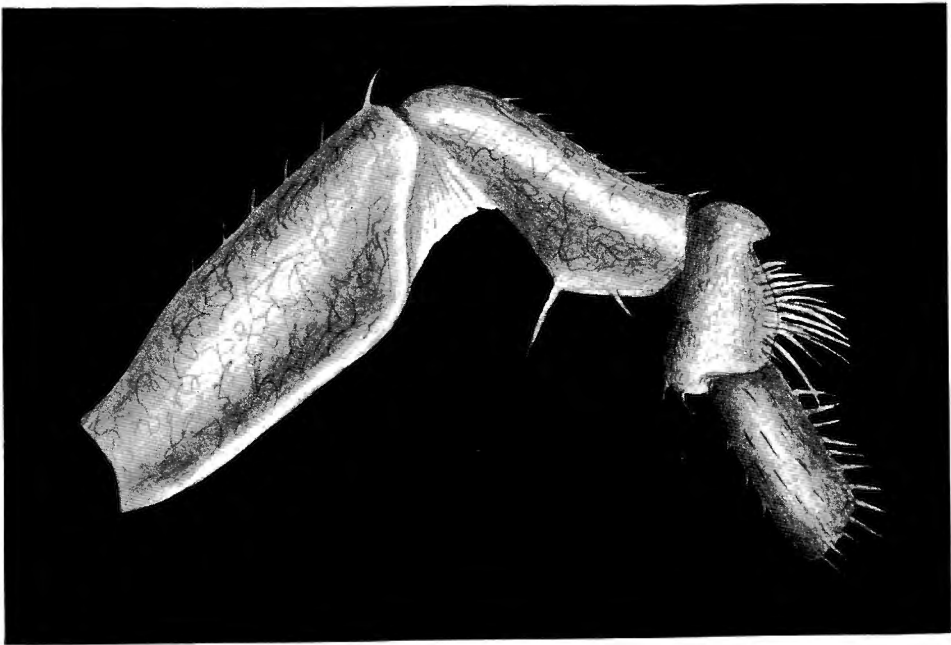


Fig. 106.

158
159

TAVOLA LII.

SPIEGAZIONE DELLE FIGURE.

Archeobdillo marmoratus ARCANDELLI.

Fig. 107. — 1° pleopode sinistro del ♂, visto dal lato
rostrale (x 90).

Fig. 108. — 2° pleopode destro del ♂, visto dal lato
rostrale (x 90).

A. ARCANDELLI del.

III AJOVAT

SPIEGAZIONE DELLE FIGURE.

Atracheodillo marmorivagus ARCANGELI.

Fig. 107. — 1° pleopode sinistro del σ , visto dal lato rostrale (x 90).

Fig. 108. — 2° pleopode destro del σ , visto dal lato rostrale (x 90).

A. ARCANGELI del.

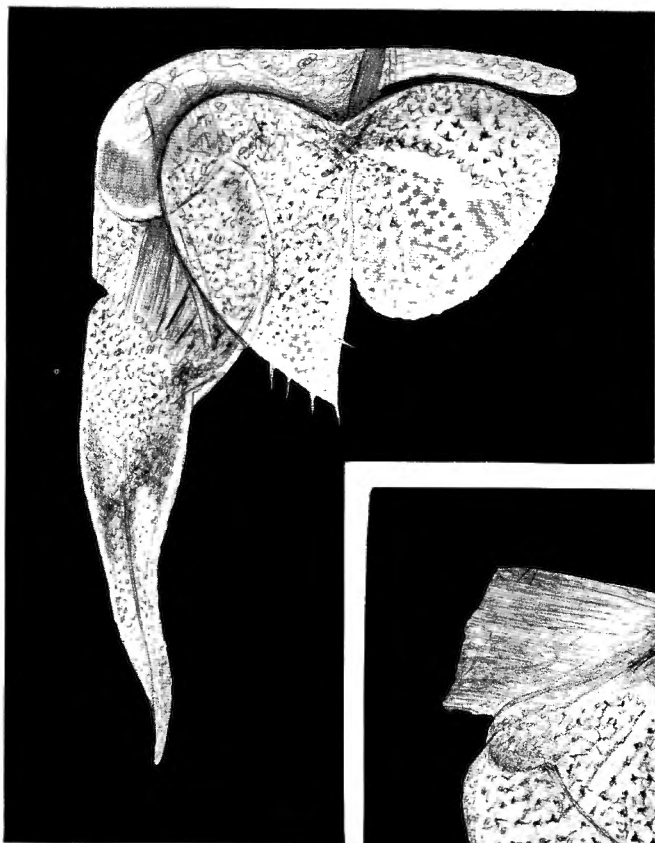


Fig. 107.

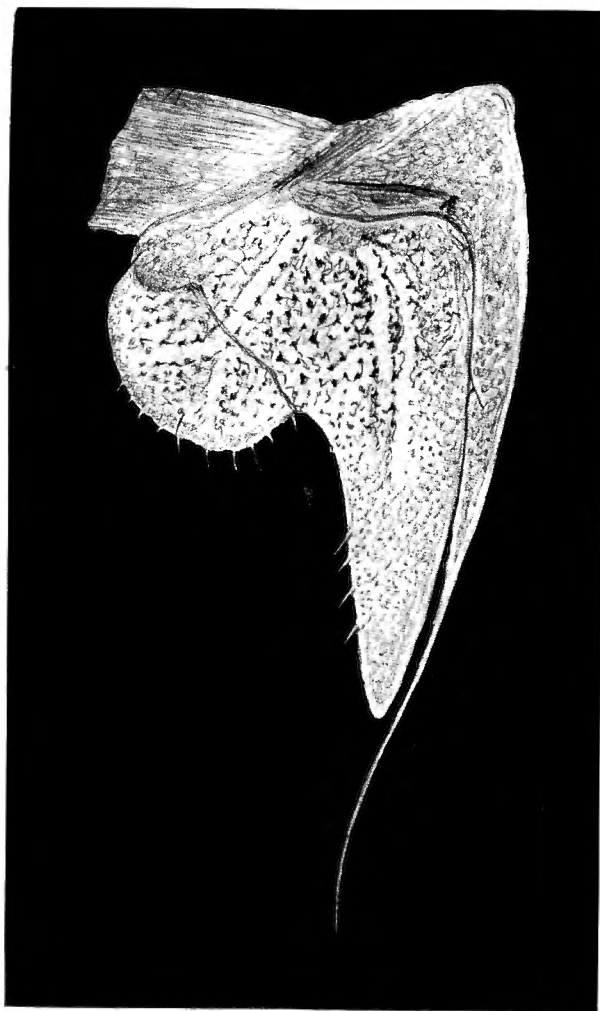


Fig. 108.

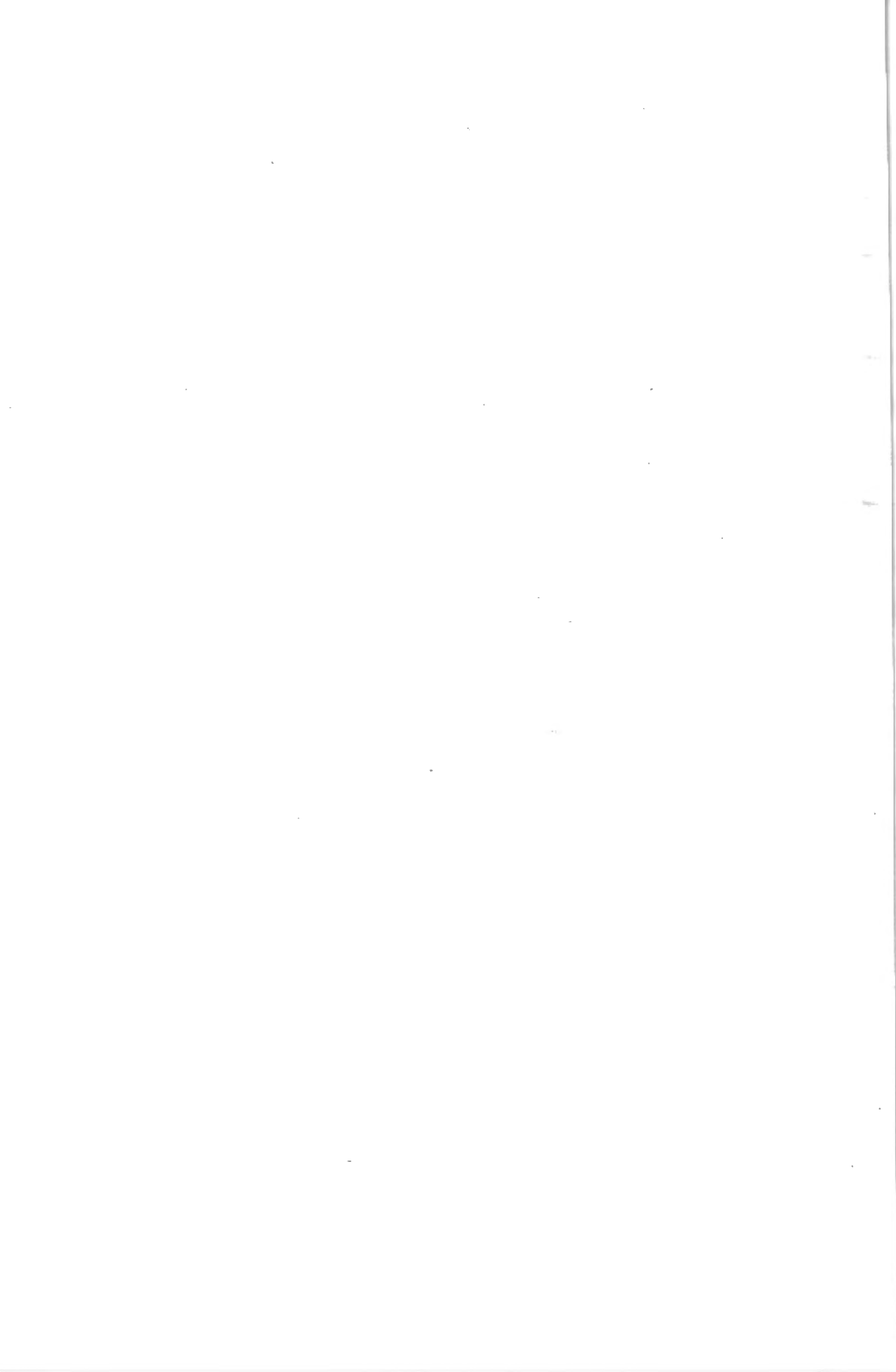


TAVOLA LIII.

SPIEGAZIONE DELLE FIGURE.

Atacbedillo marmotivagus ARCANDELLI.

Fig. 109. — a, exopodite del 1° pleopode destro;
b, exopodite del 2° pleopode destro della
♀, visti dal lato rostrale (x 90).

Fig. 110. — Uropode sinistro, visto dal dorso (x 90).
A. ARCANDELLI del.

.III. AJOVAT

SPIEGAZIONE DELLE FIGURE.

Atracheodillo marmorivagus ARCANGELI.

Fig. 109. — a, exopodite del 1° pleopode destro;
b, exopodite del 2° pleopode destro della
♀, visti dal lato rostrale (x 90).

Fig. 110. — Uropode sinistro, visto dal dorso (x 90).

A. ARCANGELI del.

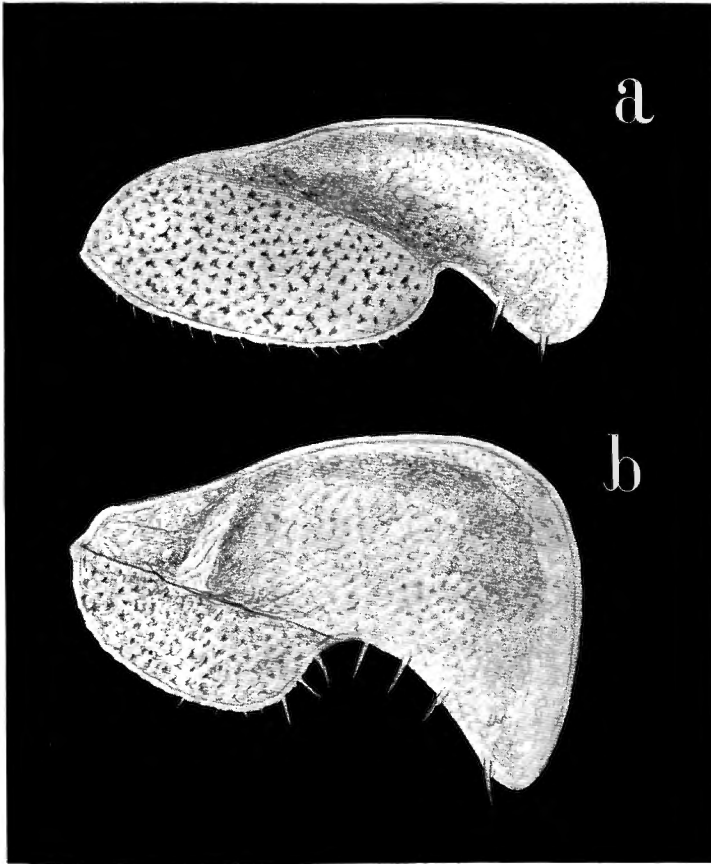


Fig. 109.

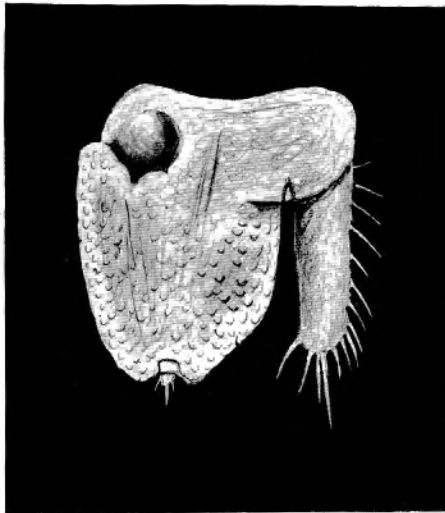


Fig. 110.

TAVOLA LIV.

SPIEGAZIONE DELLE FIGURE.

Microcerus Darsuevelli ARCANDELLI.

Fig. 111. — Epimere destro del 1° perionite, visto di lato e dorsalmente (x 22,5).

Fig. 112. — 2° pleonite, plectalon ed uropodi, visti dal dorso (x 19,5).

Fig. 113. — Parte distale del paripodite, ischiopodite, meropodite e parte proximale del carpopodite del 7° pericopode destro del ♂, visto dal lato caudale (x 40).

A. ARCANDELLI del.

VII AJOVAT

SPIEGAZIONE DELLE FIGURE.

Microcercus Dartevellei ARCANGELI.

- Fig. 111. — Epimere destro del 1° pereionite, visto di lato e dorsalmente (x 22,5).
- Fig. 112. — 5° pleonite, pleotelson ed uropodi, visti dal dorso (x 19,5).
- Fig. 113. — Parte distale del basipodite, ischiopodite, meropodite e parte prossimale del carpopodite del 7° pereiopode destro del σ , visto dal lato caudale (x 46).

A. ARCANGELI del.

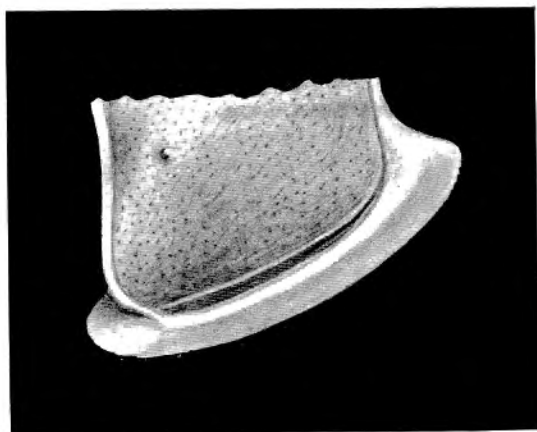


Fig. 111.

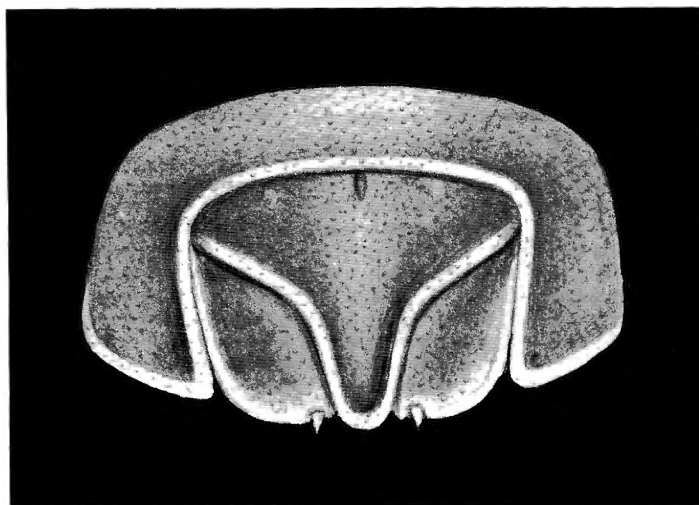


Fig. 112.

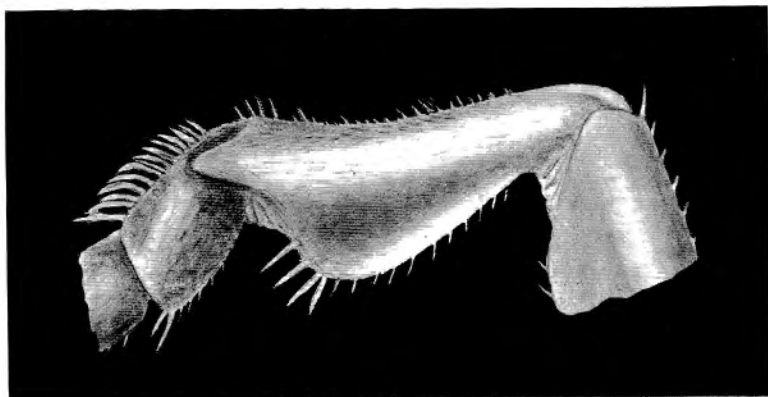


Fig. 113.

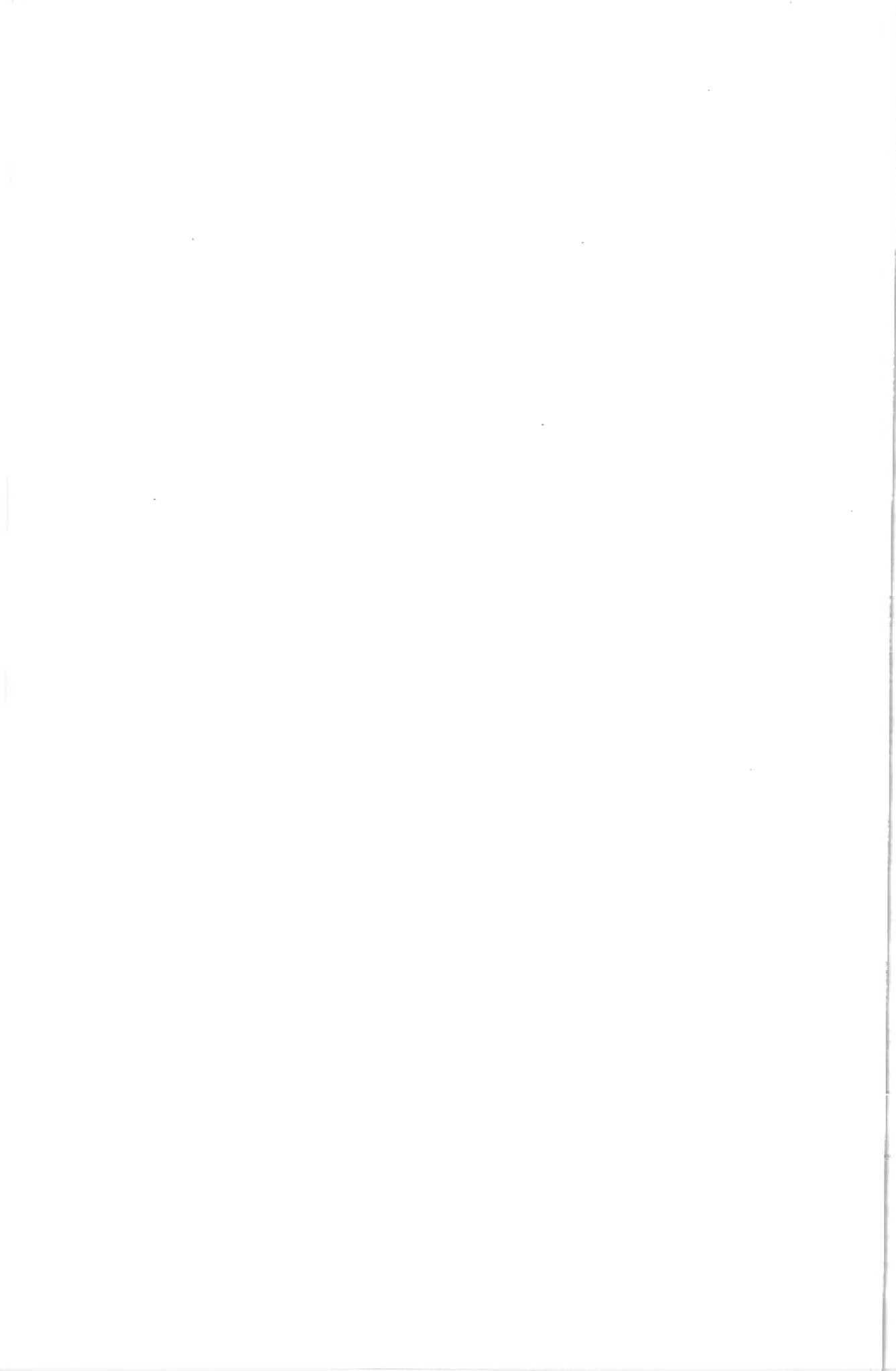


TAVOLA LV.

SPIEGAZIONE DELLE FIGURE.

Microcerus Dartwelli ARCANDELLI.

Fig. 114. — Endopodite del 1° pleopode destro del σ ,
visto dal lato rostrale ($\times 90$).

Fig. 115. — Parte distale dell'endopodite del 1° pleo-
pode destro del σ , vista dal lato rostrale
($\times 90$).

Microcerus singularis ARCANDELLI.

Fig. 116. — Cephalon, visto dal dorso ($\times 17,5$).

A. ARCANDELLI del.

.VI AJOVAT

SPIEGAZIONE DELLE FIGURE.

Microcercus Dartevellii ARCANGELI.

Fig. 114. — Exopodite del 1° pleopode destro del σ , visto dal lato rostrale (x 90).

Fig. 115. — Parte distale dell'endopodite del 1° pleopode destro del σ , vista dal lato rostrale (x 90).

Microcercus singularis, ARCANGELI.

Fig. 116. — Cephalon, visto dal dorso (x 17,5).

A. ARCANGELI del.

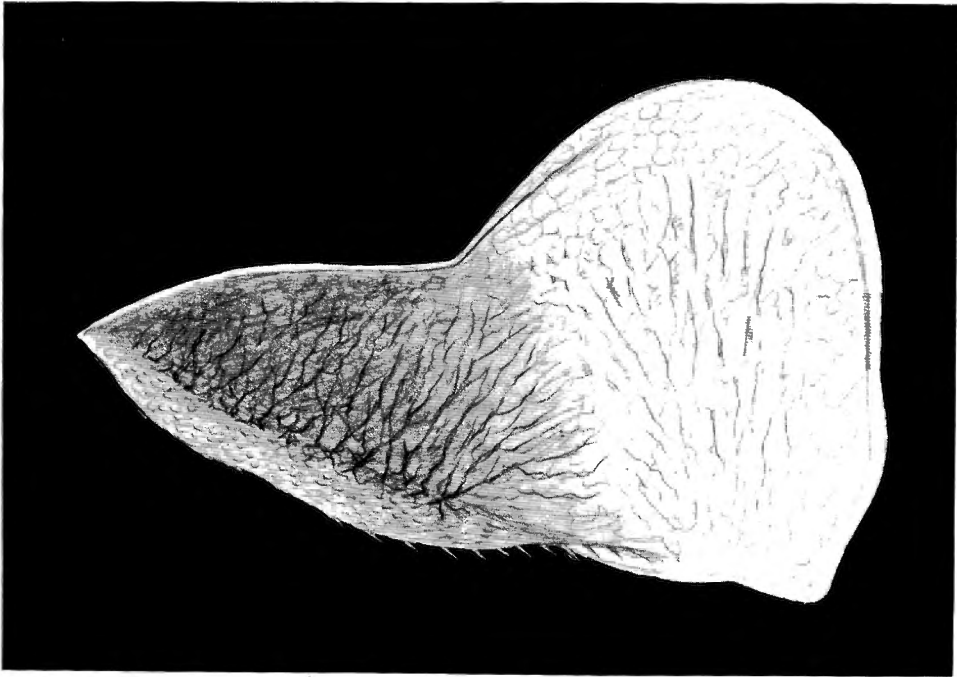


Fig. 114.

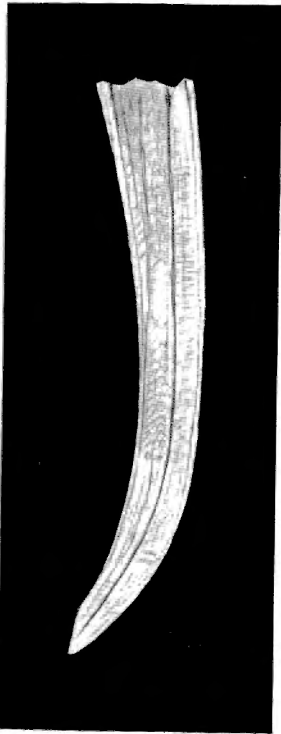


Fig. 115.

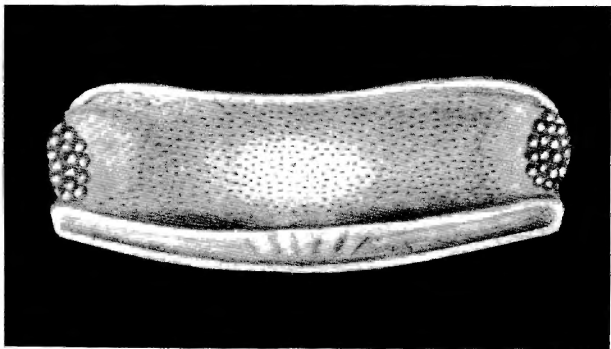


Fig. 116.

TAVOLA LVI.

SPIEGAZIONE DELLE FIGURE.

Microcerus singularis, ARCANCELLI.

- Fig. 117. — Cephalon (cui manca l'antenna destra), visto dal lato anteriore (x 22).
- Fig. 118. — Epimere destro del 1° pereonite, visto dal lato e dorsalmente (x 20).
- Fig. 119. — 5° pleonite, pleotelson ed uropodi, visti dal dorso (x 22).
- A. ARCANCELLI del.

IVI AJOVAT

SPIEGAZIONE DELLE FIGURE.

Microcercus singularis, ARCANGELI.

- Fig. 117. — Cephalon (cui manca l'antenna destra), visto dal lato anteriore (x 22).
- Fig. 118. — Epimere destro del 1° pereionite, visto di lato e dorsalmente (x 20).
- Fig. 119. — 5° pleonite, pleotelson ed uropodi, visti dal dorso (x 22).

A. ARCANGELI del.

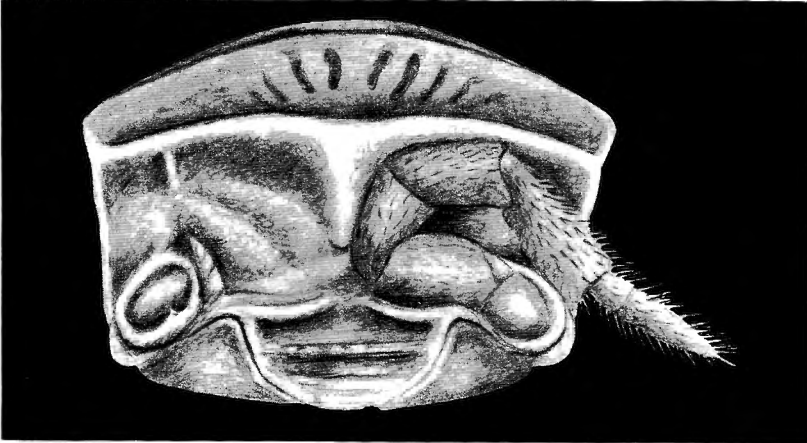


Fig. 117.

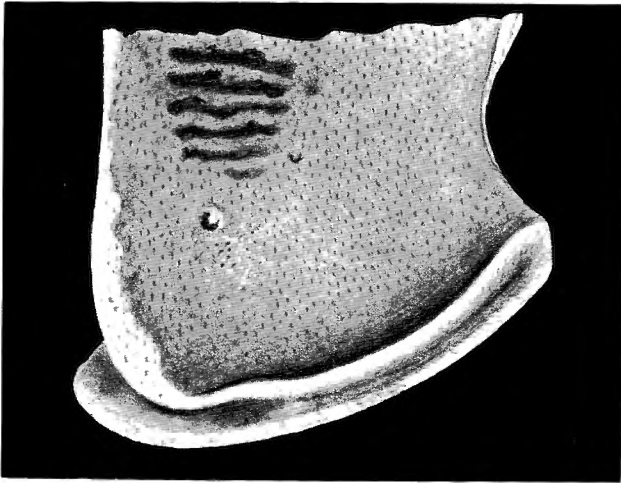


Fig. 118.

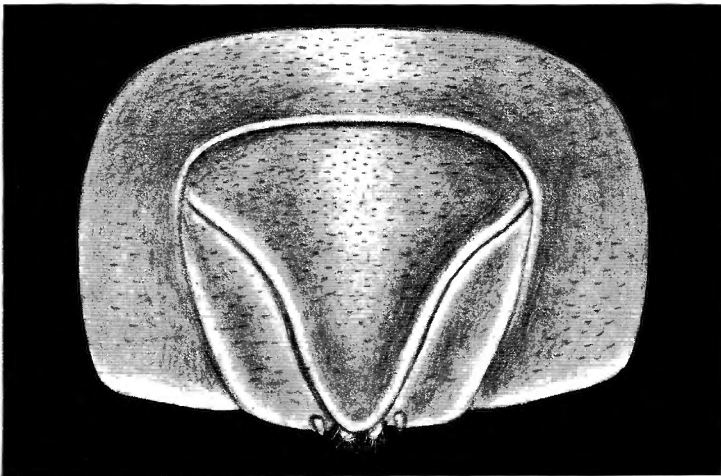


Fig. 119.



TAVOLA LVII.

SPIEGAZIONE DELLE FIGURE.

Microcerus lugubris ARCANDELLI.

Fig. 120. — Cephalon e parte anteriore del 1° peroneo-
nite, visti dal dorso (x 20).

Fig. 121. — Epimere destro del 1° peroneoite, visto di
lato e dorsalmente (x 24).

A. ARCANDELLI del.

.IIVI AJOVAT

SPIEGAZIONE DELLE FIGURE.

Microcercus lugubris ARCANGELI.

Fig. 120. — Cephalon e parte anteriore del 1° pereionite, visti dal dorso (x 20).

Fig. 121. — Epimere destro del 1° pereionite, visto di lato e dorsalmente (x 24).

A. ARCANGELI del.

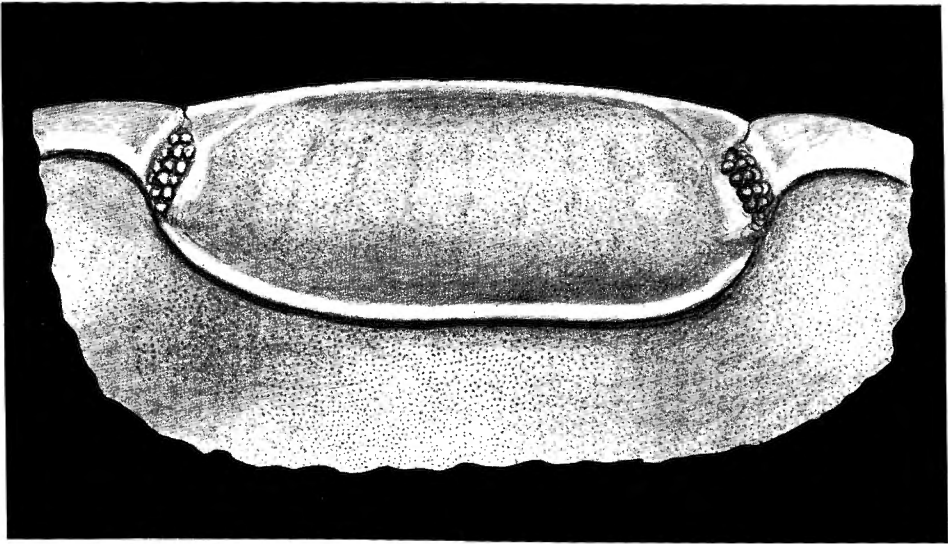


Fig. 120.

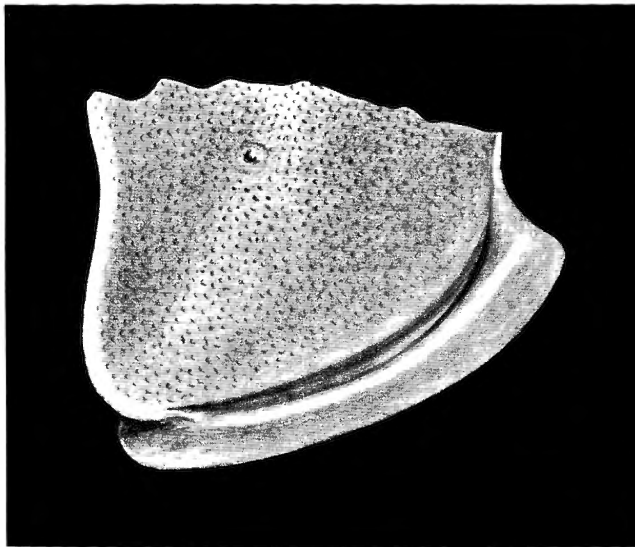


Fig. 121.

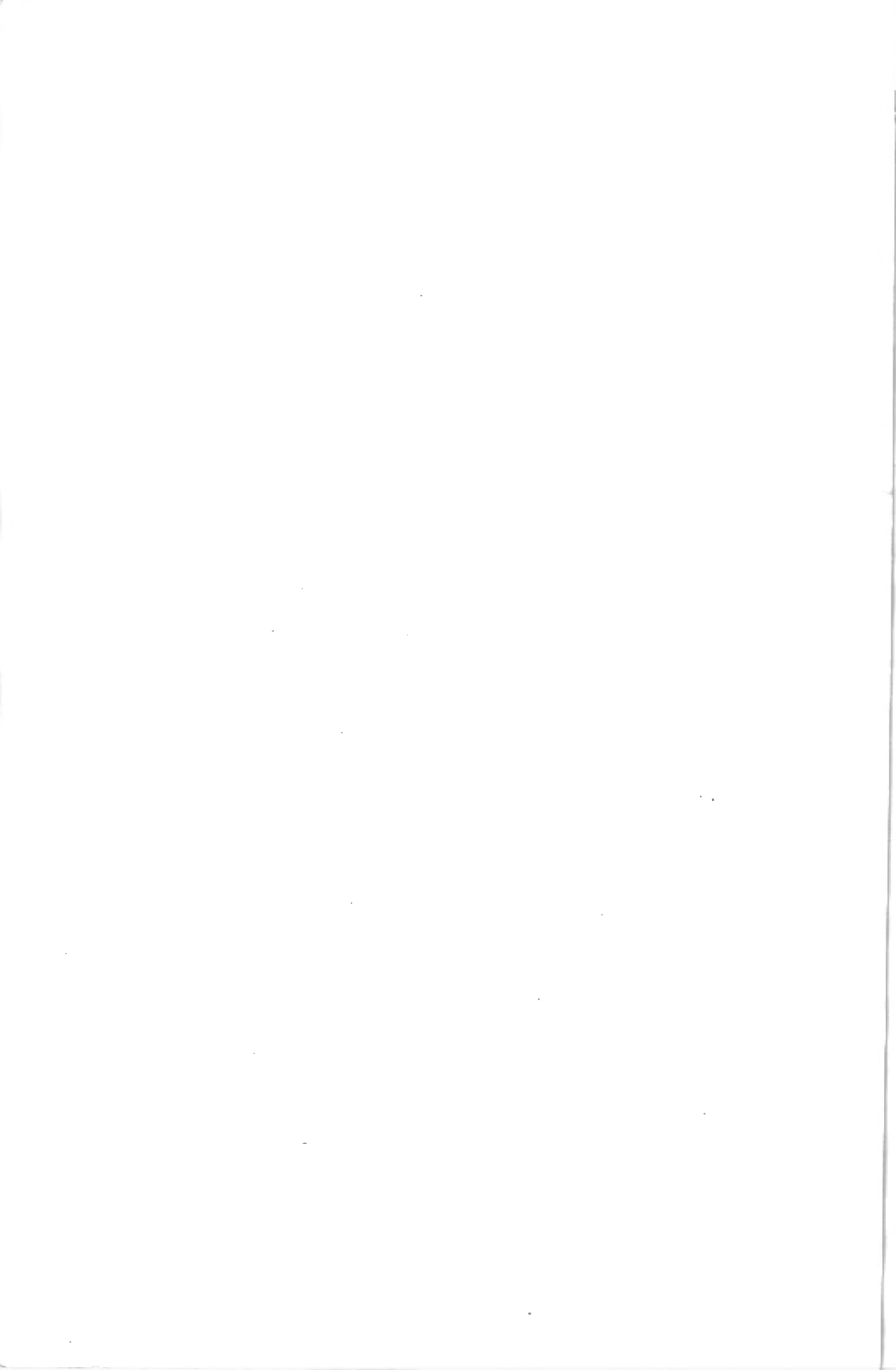


TAVOLA LVIII.

SPIEGAZIONE DELLE FIGURE.

Microcerus lugubris ARCANDELLI.

Fig. 122. — 2° pleonite, pleotelson ed uropodi, visti dal
dorso (x 25).

Fig. 123. — Exopodite del 1° pleopode destro del
vato dal lato rostrale (x 50).

A. ARCANDELLI del.

.IIIVI AJOVAT

SPIEGAZIONE DELLE FIGURE.

Microcercus lugubris ARCANGELI.

Fig. 122. — 5° pleonite, pleotelson ed uropodi, visti dal dorso (x 25).

Fig. 123. — Exopodite del 1° pleopode destro del σ , visto dal lato rostrale (x 50).

A. ARCANGELI del.

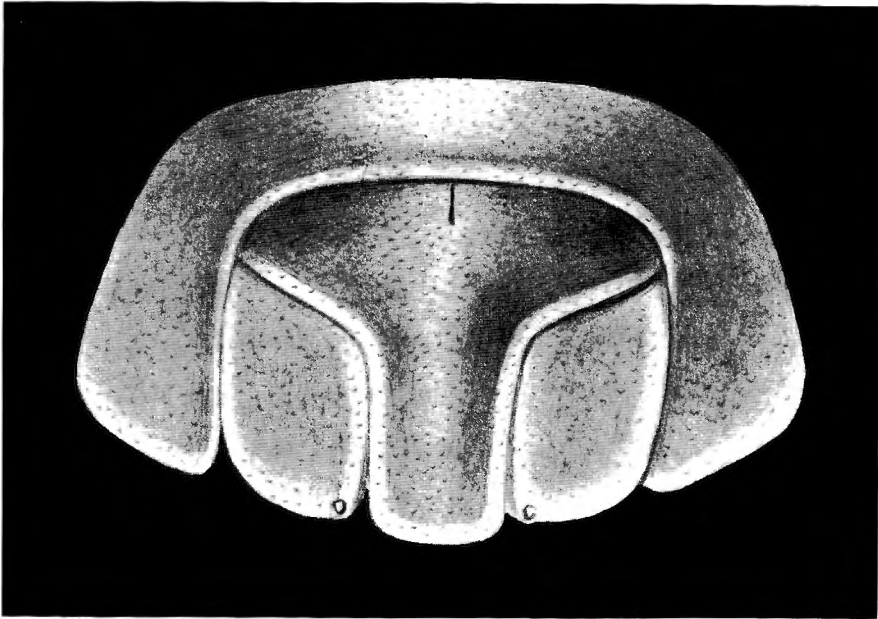


Fig. 122.

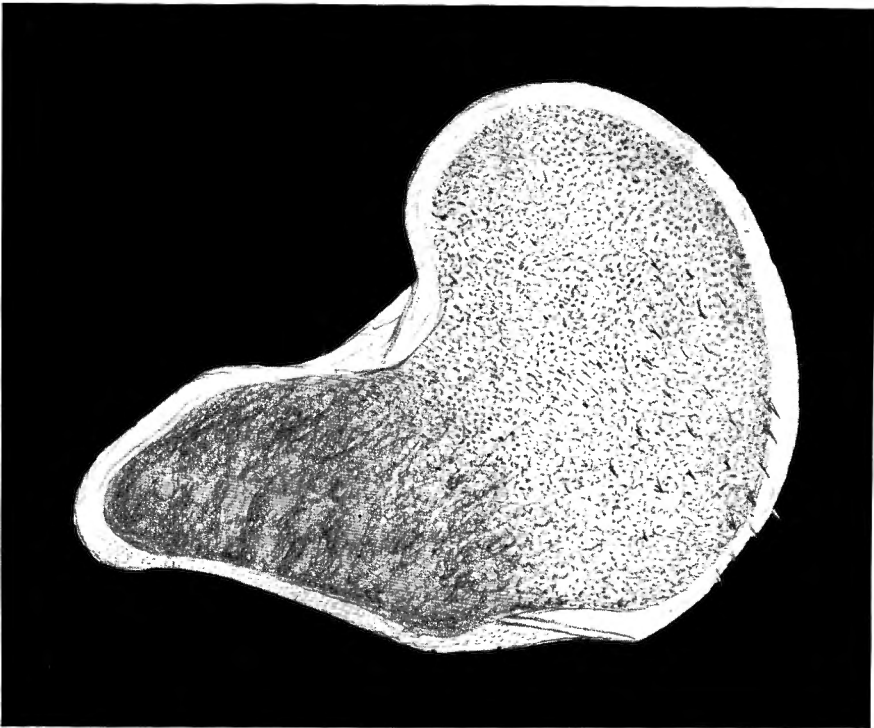


Fig. 123.



TAVOLA LIX.

SPIEGAZIONE DELLE FIGURE.

Microcerus luybri ARCANDELLI.

Fig. 124. — Parte distale del basipodite, ischiopodite e parte proximale del meropodite del 7° pereopode destro del *v.*, visto dal lato caudale (x 50).

A. ARCANDELLI del.

XLI AJOVAT

SPIEGAZIONE DELLE FIGURE.

Microcercus lugubris ARCANGELI.

Fig. 124. — Parte distale del basipodite, ischiopodite e parte prossimale del meropodite del 7° pereopode destro del σ , visto dal lato caudale (x 50).

A. ARCANGELI del.

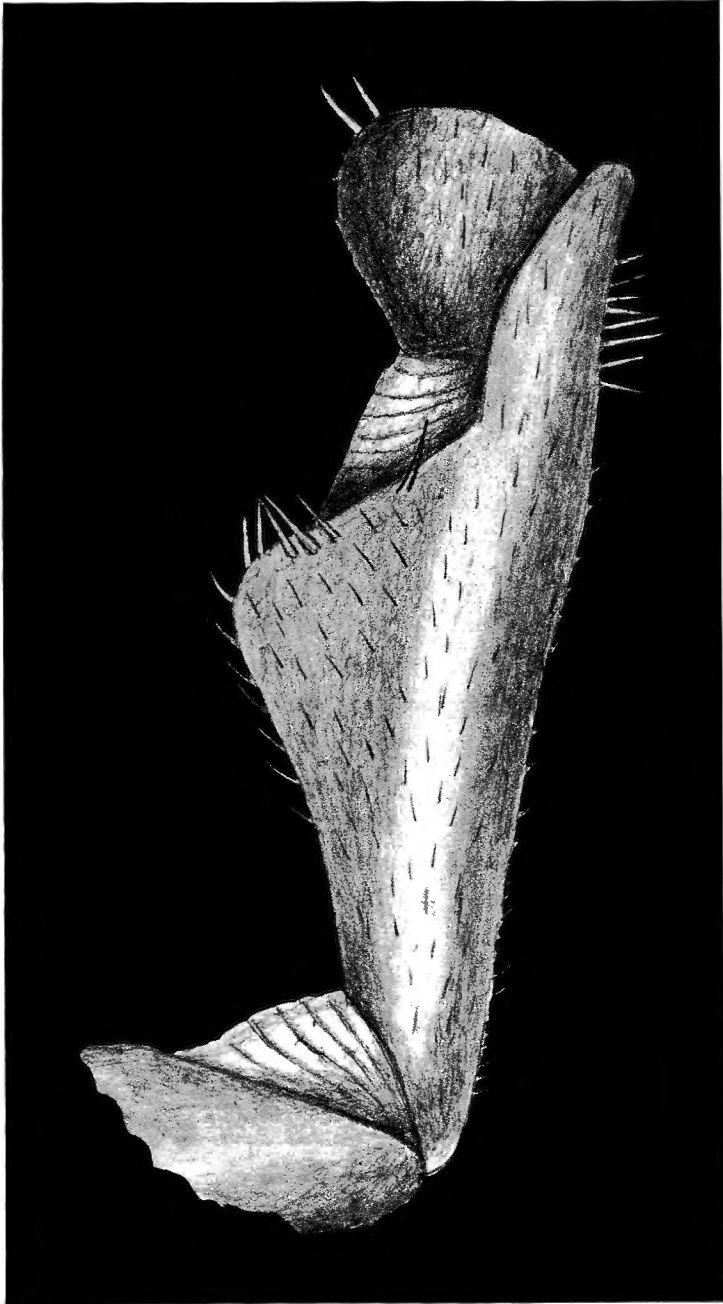


Fig. 124.

TAVOLA LX.

SPIEGAZIONE DELLE FIGURE.

Microcerus lugubris ARCANDELLI.

Fig. 125. — Parte distale dell'endopodite del 1° pleopode destro del σ , vista dal lato rostrale (x 90).

Microcerus incertus ARCANDELLI.

Fig. 126. — Cephalon e parte anteriore del 1° pereonite, visti dal dorso (x 20).

Fig. 127. — Epimere destro del 1° pereonite, visto di lato e dorsalmente (x 22).

Fig. 128. — 2° pleonite, pleotelson ed uropodi, visti dal dorso (x 22).

A. ARCANDELLI del.

XI AJOVAT

SPIEGAZIONE DELLE FIGURE.

Microcercus lugubris ARCANGELI.

Fig. 125. — Parte distale dell'endopodite del 1° pleopode destro del σ , vista dal lato rostrale (x 90).

Microcercus incertus ARCANGELI.

Fig. 126. — Cephalon e parte anteriore del 1° pereionite, visti dal dorso (x 20).

Fig. 127. — Epimere destro del 1° pereionite, visto di lato e dorsalmente (x 22).

Fig. 128. — 5° pleonite, pleotelson ed uropodi, visti dal dorso (x 22).

A. ARCANGELI del.

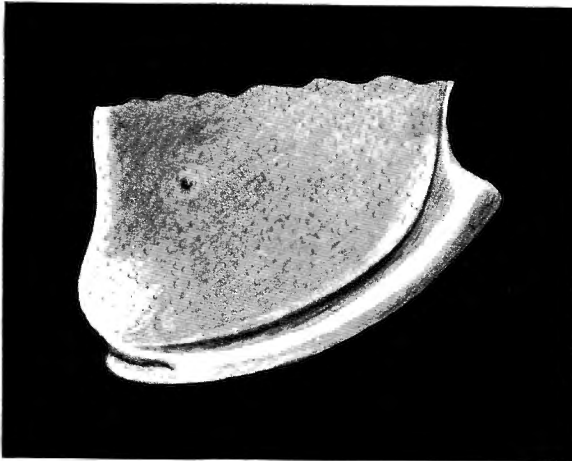


Fig. 127.

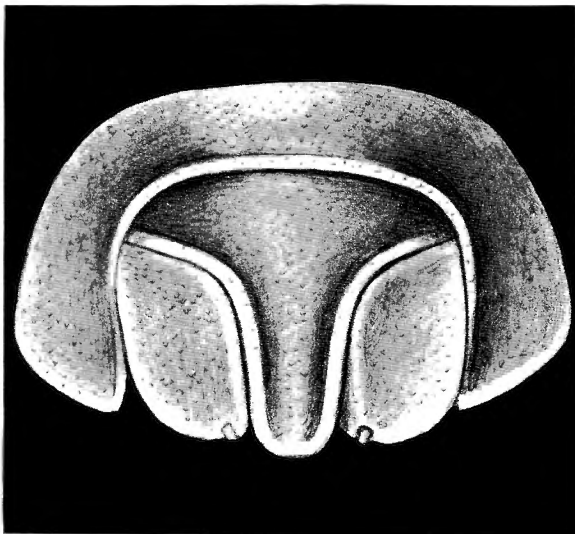


Fig. 128.



Fig. 125.

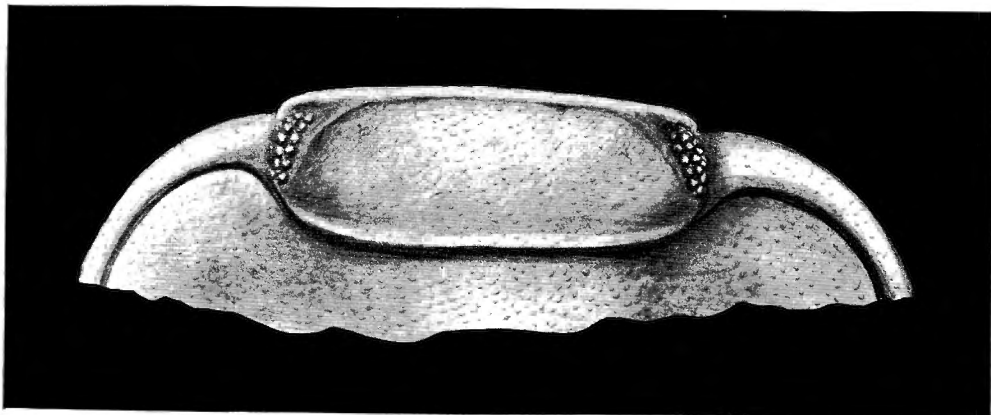


Fig. 126.

TAVOLA LXI.

SPIEGAZIONE DELLE FIGURE.

Microcerus rhodensis ARCANDELLI.

Fig. 129. — Cephalon e parte anteriore del 1° pereopodite visti dal dorso (x 25).

Fig. 130. — Cephalon e parte anteriore del 1° pereopodite visti dal lato anteriore, ventrale (Manca l'antenna destra) (x 25).

A. ARCANDELLI del.

.IXI A. IOVAT

SPIEGAZIONE DELLE FIGURE.

Microcercus rhodesiensis ARCANGELI.

Fig. 129. — Cephalon e parte anteriore del 1° pereonite, visti dal dorso (x 25).

Fig. 130. — Cephalon e parte anteriore del 1° pereonite, visti dal lato anteriore, ventrale (Manca l'antenna destra) (x 25).

A. ARCANGELI del.

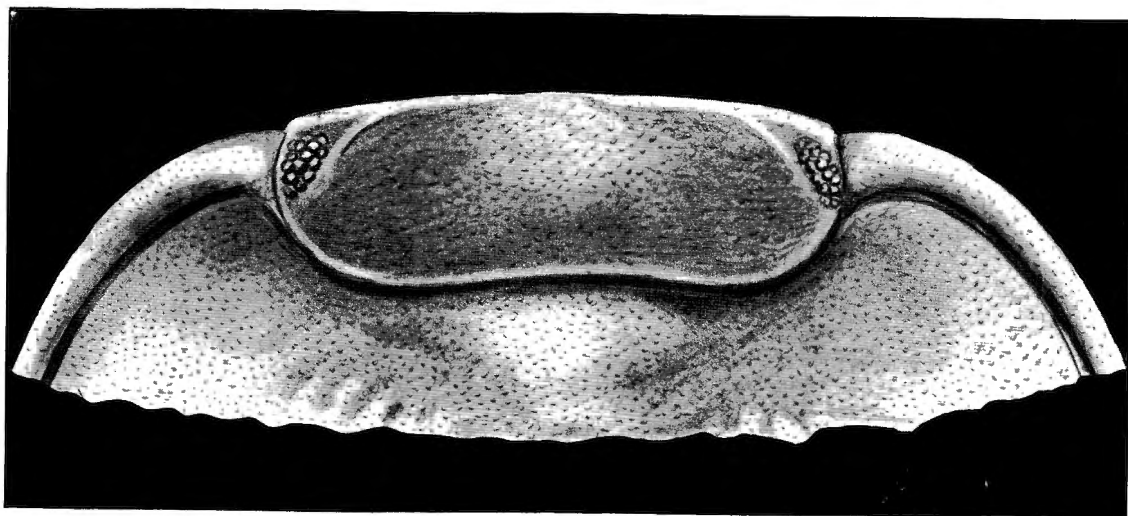


Fig. 129.

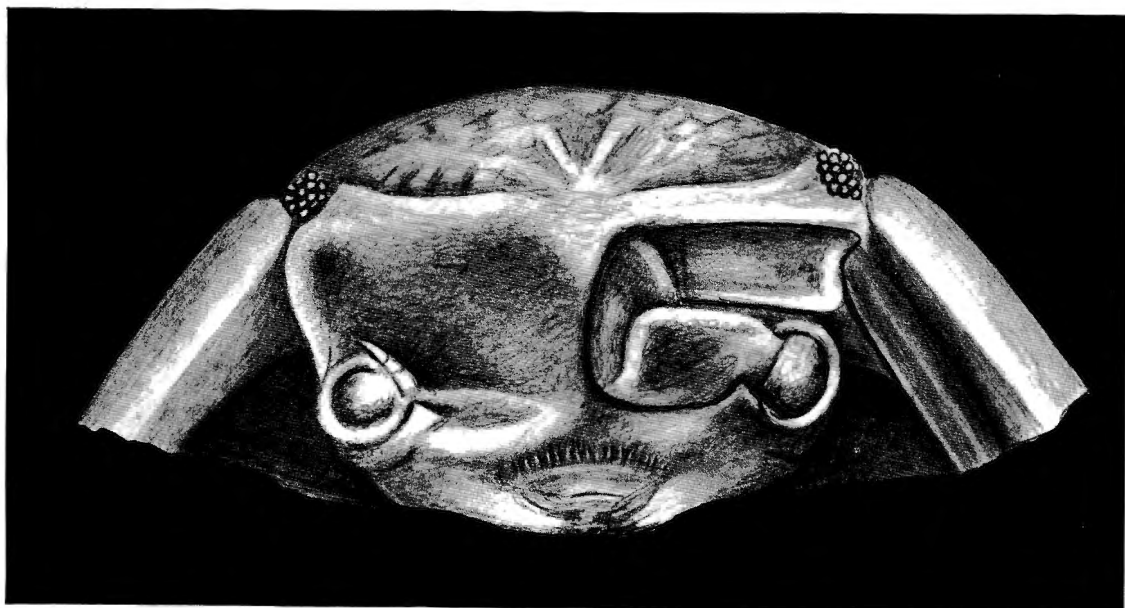


Fig. 130.

TAVOLA LXII.

SPIEGAZIONE DELLE FIGURE.

Microcerus rhodensis ARCANDELLI.

Fig. 131. — Epimere destro del 1° peronite, visto di lato e dorsalmente (x 20).

Fig. 132. — 2° pleonite, pleotelson ed uropodi, visti dal dorso (x 21).

A. ARCANDELLI del.

SPIEGAZIONE DELLE FIGURE.

Microcercus rhodesiensis ARCANGELI.

Fig. 131. — Epimere destro del 1° pereonite, visto di lato e dorsalmente (x 20).

Fig. 132. — 5° pleonite, pleotelson ed uropodi, visti dal dorso (x 21).

A. ARCANGELI del.

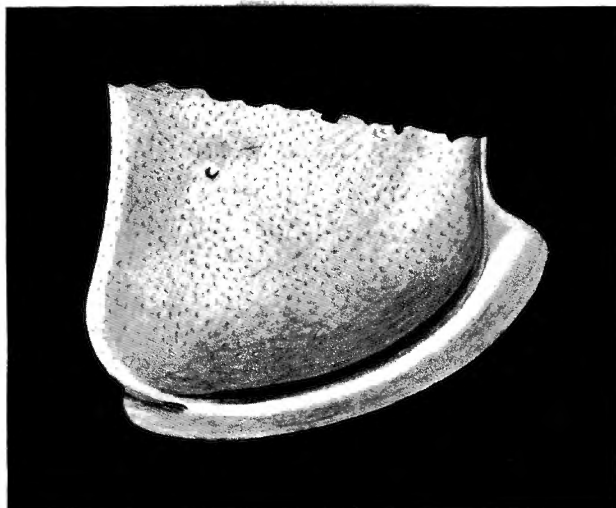


Fig. 131.

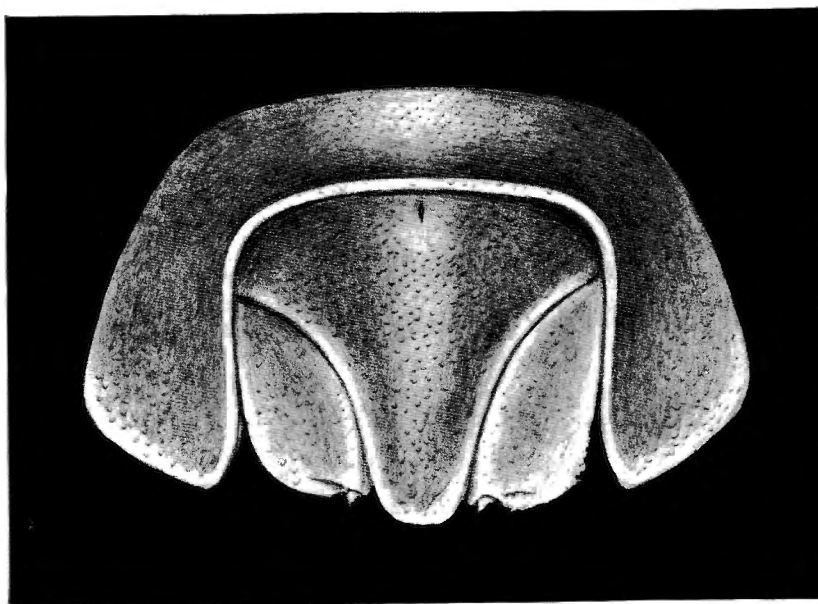


Fig. 132.



TAVOLA LXIII.

SPIEGAZIONE DELLE FIGURE.

Microcerus rhodesiensis ARCANDELLI.

Fig. 133. — Parte distale del basipodite, mesipodite, meropodite e parte proximale del carpopodite del 7° pereopode destro del ♂, visto dal lato caudale (x 40).

Fig. 134. — Exopodite del 1° pleopode destro del ♂, visto dal lato rostrale (x 20).

Fig. 135. — Parte distale dell'endopodite del 1° pleopode destro del ♂, visto dal lato rostrale (x 20).

A. ARCANDELLI del.

.III.XI AJOVAT

SPIEGAZIONE DELLE FIGURE.

Microcercus rhodesiensis ARCANGELI.

- Fig. 133. — Parte distale del basipodite, ischiopodite, meropodite e parte prossimale del carpopodite del 7° pereopode destro del σ , visto dal lato caudale (x 46).
- Fig. 134. — Exopodite del 1° pleopode destro del σ , visto dal lato rostrale (x 90).
- Fig. 135. — Parte distale dell'endopodite del 1° pleopode destro del σ , visto dal lato rostrale (x 90).

A. ARCANGELI del.

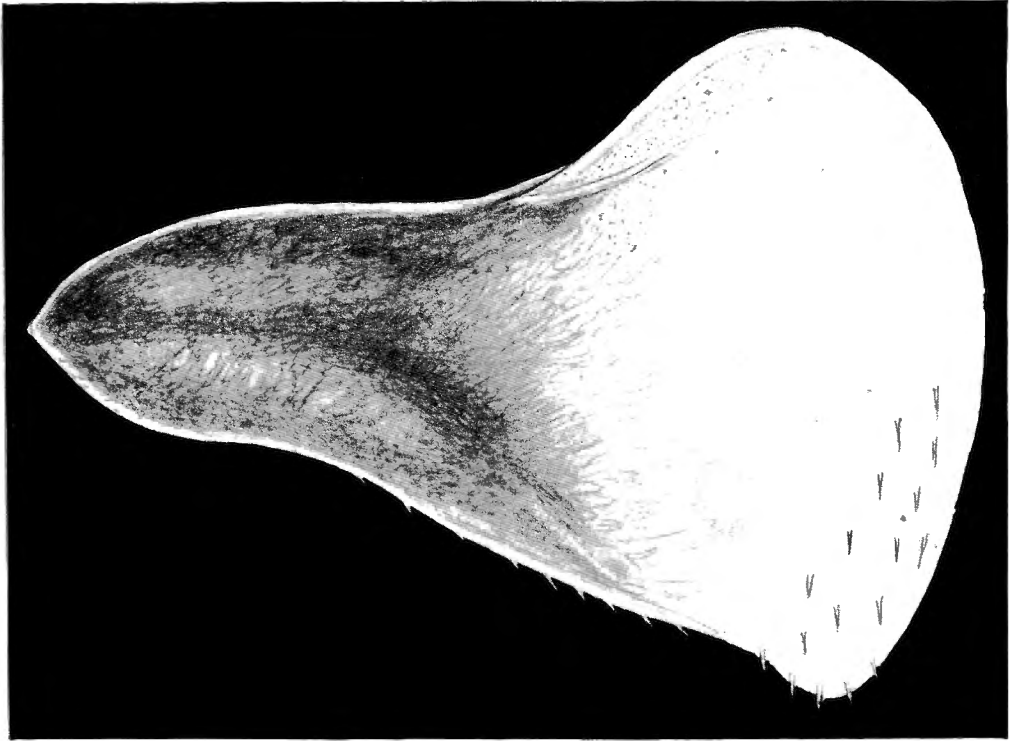


Fig. 134.

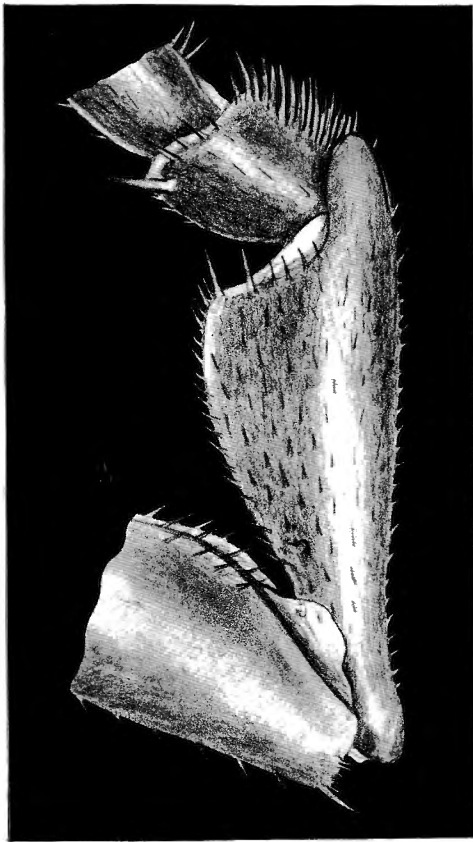


Fig. 133.



Fig. 135.

TAVOLA LXIV.

SPIEGAZIONE DELLE FIGURE.

Microcerus ethelmooides ARCANDELLI.

Fig. 136. — Epimere destro del 1° perionite, visto di lato e dorsalmente (x 29).

Fig. 137. — 2° pleonite, pleotelson ed uropodi, visti dal dorso (x 28).

Fig. 138. — Parte distale della lamina interna della 1° mascella sinistra, vista dal lato caudale (x 440).

A. ARCANDELLI del.

VIXI AJOVAT

SPIEGAZIONE DELLE FIGURE.

Microcercus ethelumoides ARCANGELI.

Fig. 136. — Epimere destro del 1° pereionite, visto di lato e dorsalmente (x 29).

Fig. 137. — 5° pleonite, pleotelson ed uropodi, visti dal dorso (x 28).

Fig. 138. — Parte distale della lamina interna della 1° mascella sinistra, vista dal lato caudale (x 440).

A. ARCANGELI del.

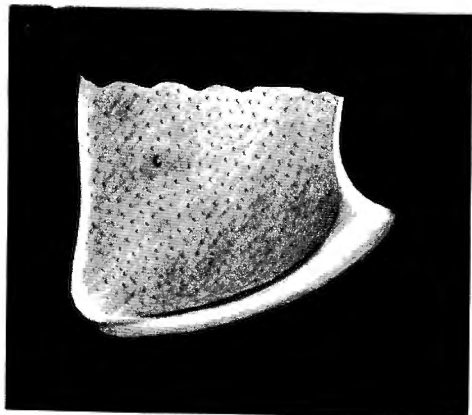


Fig. 136.

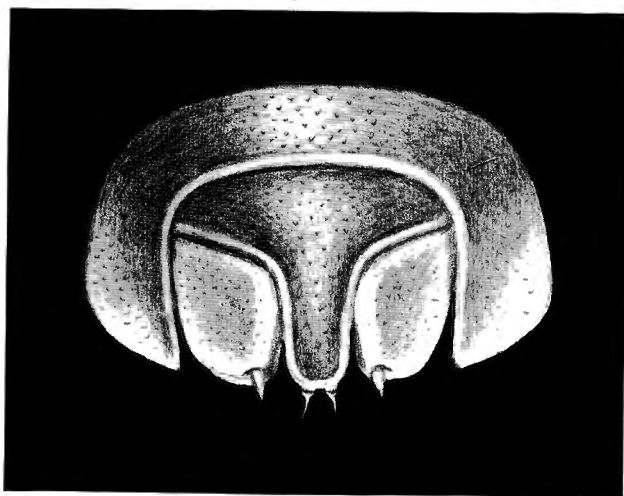


Fig. 137.

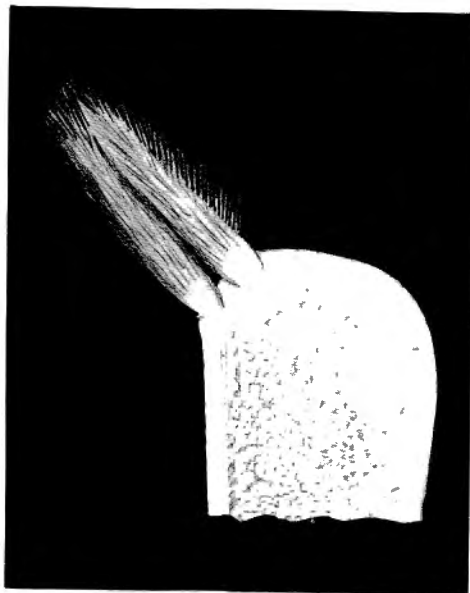


Fig. 138.



TAVOLA LXV.

SPIEGAZIONE DELLE FIGURE.

Microcercus ethelunoides ARCANCELLI.

Fig. 139. — Sopra exopodite del 1° pleopode sinistro, sotto exopodite del 2° pleopode destro della ♀, visti dal lato rostrale (x 90).

Fig. 140. — Uropode destro, visti dal dorso (x 20).

A. ARCANCELLI del.

.VXI A. IOVAT

SPIEGAZIONE DELLE FIGURE.

Microcercus ethelumoides ARCANGELI.

Fig. 139. — Sopra exopodite del 1° pleopode sinistro,
sotto exopodite del 2° pleopode destro della
♀, visti dal lato rostrale (x 90).

Fig. 140. — Uropode destro, visti dal dorso (x 20).

A. ARCANGELI del.

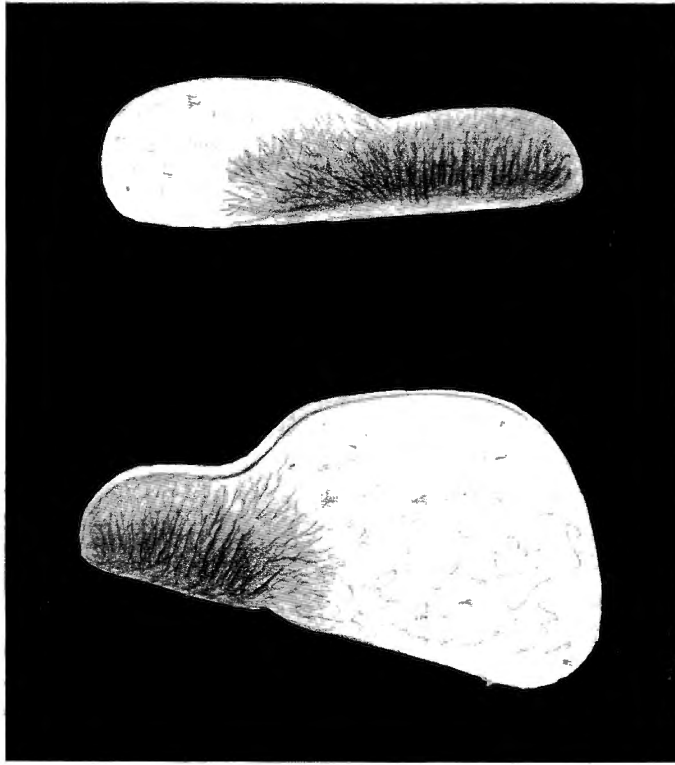


Fig. 139.

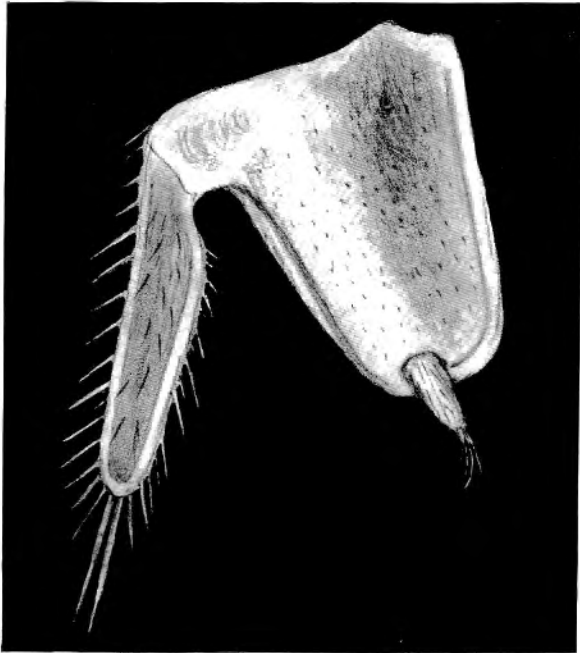


Fig. 140.

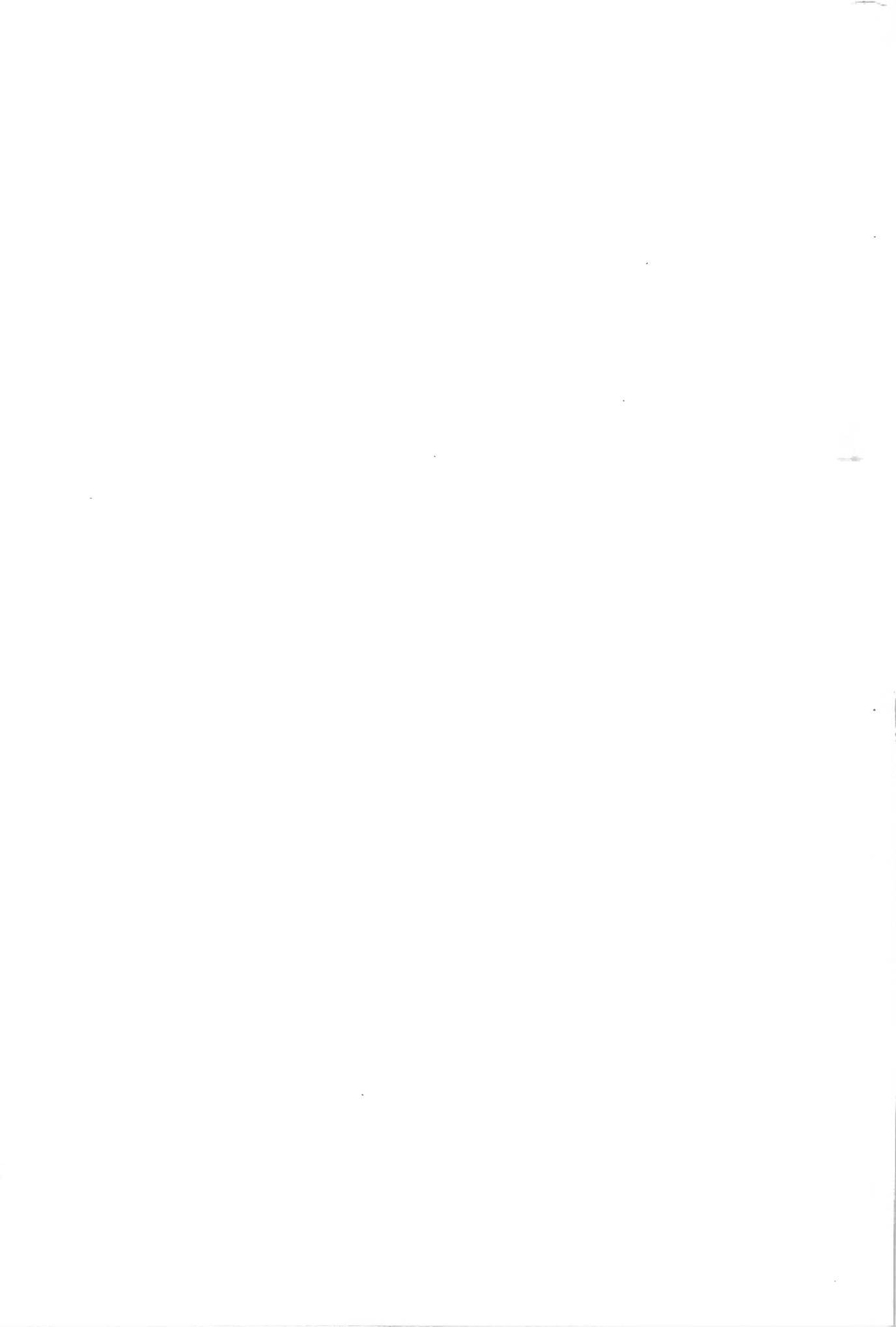


TAVOLA LXVI.

SPIEGAZIONE DELLE FIGURE.

Synurmidillo globus BUDE-LUND.

Fig. 141. — Epimere destro del 1° perionite, visto di lato e dorsalmente (x 10).

Fig. 142. — 2° pleonite, pleotelson ed uropodi, visti dal dorso (x 12).

A. ARCANDELLI del.

.IVXJ AJOVAT

SPIEGAZIONE DELLE FIGURE.

Synarmadillo globus BUDE-LUND.

Fig. 141. — Epimere destro del 1° pereionite, visto di lato e dorsalmente (x 16).

Fig. 142. — 5° pleonite, pleotelson ed uropodi, visti dal dorso (x 12).

A. ARCANGELI del.

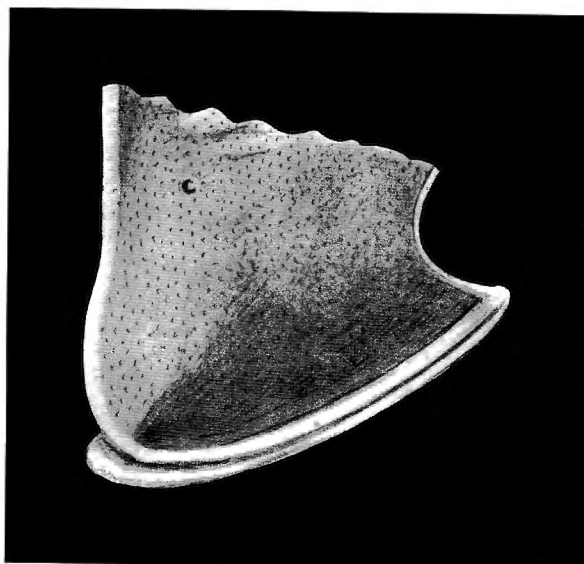


Fig. 141.

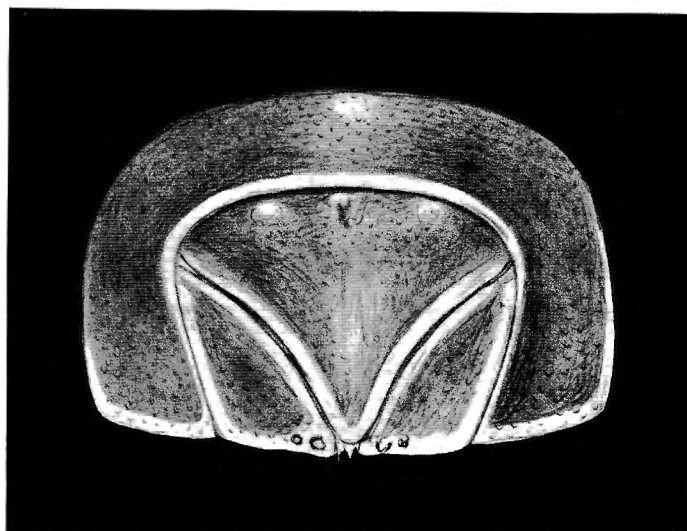


Fig. 142.



TAVOLA LXVII.

SPIEGAZIONE DELLE FIGURE.

Synmehillo globus BUDR-LUND.

Fig. 143. — Exopodite del 1° pleopode destro del σ ,
visto dal lato rostrale (x 46).

Fig. 144. — Parte distale dell'endopodite del 1° pleo-
pode destro del σ , visto dal lato rostrale
(x 90).

Synmehillo pallidus ARCANDELLI.

Fig. 145. — Cephalon e 1° perionite, visti dal lato de-
stro (x 18).

A. ARCANDELLI del.

.IIVX.I A.JOVAT

SPIEGAZIONE DELLE FIGURE.

Synarmadillo globus BUDE-LUND.

Fig. 143. — Exopodite del 1° pleopode destro del σ , visto dal lato rostrale (x 46).

Fig. 144. — Parte distale dell'endopodite del 1° pleopode destro del σ , visto dal lato rostrale (x 90).

Synarmadillo pallidus ARCANGELI.

Fig. 145. — Cephalon e 1° pereionite, visti dal lato destro (x 18).

A. ARCANGELI del.

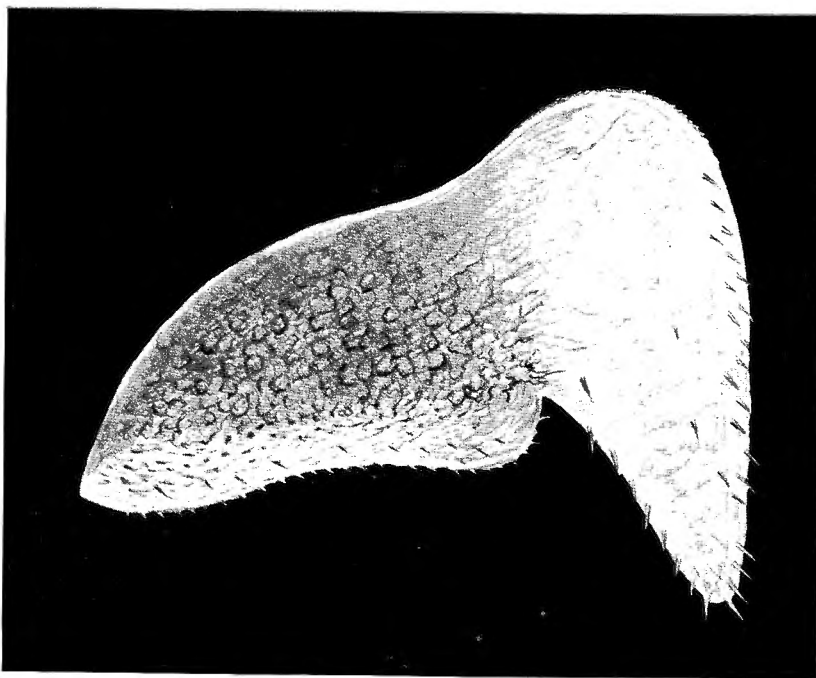


Fig. 143.

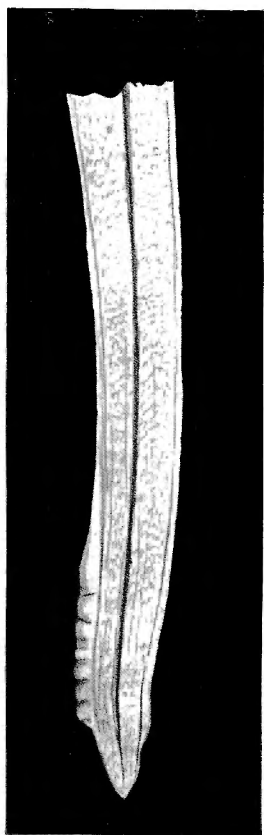


Fig. 144.

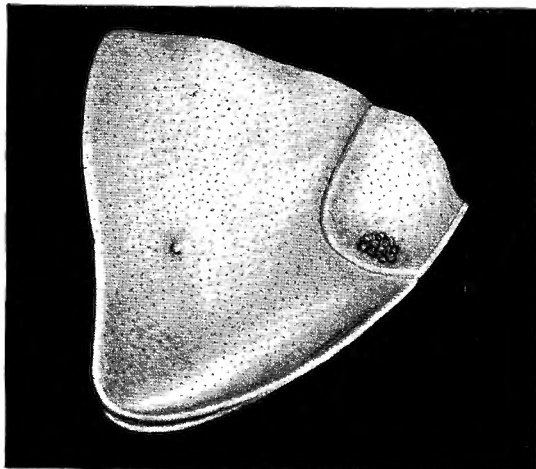


Fig. 145.



TAVOLA LXVIII.

SPIEGAZIONE DELLE FIGURE.



Synarmadillo pallidus ARCANDELLI.

Fig. 146. — Epimere del 1° peritoneite, visto dal lato
ventrale (x 20).

Fig. 147. — 2° pleonite, pleotelson ed uropodi, visti dal
dorso (x 18).

Fig. 148. — Antenna destra, vista dal dorso (x 20).

A. ARCANDELLI del.

.IIIVX.I AJOVAT

SPIEGAZIONE DELLE FIGURE.

Synarmadillo pallidus ARCANGELI.

Fig. 146. — Epimere del 1° pereionite, visto dal lato ventrale (x 20).

Fig. 147. — 5° pleonite, pleotelson ed uropodi, visti dal dorso (x 18).

Fig. 148. — Antenna destra, vista dal dorso (x 90).

A. ARCANGELI del.



Fig. 148.

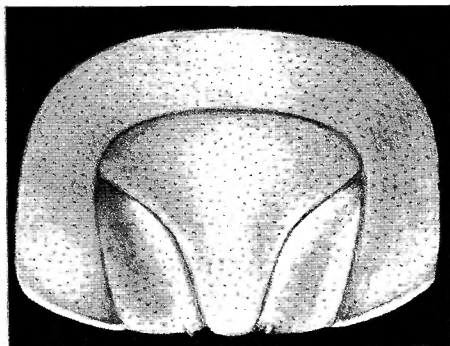


Fig. 147.

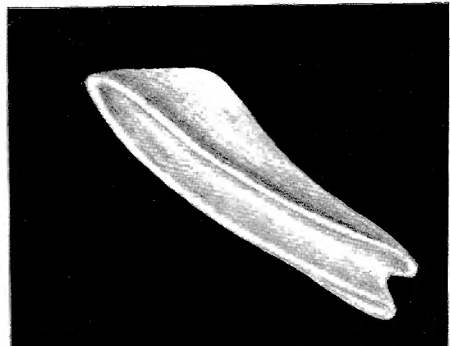
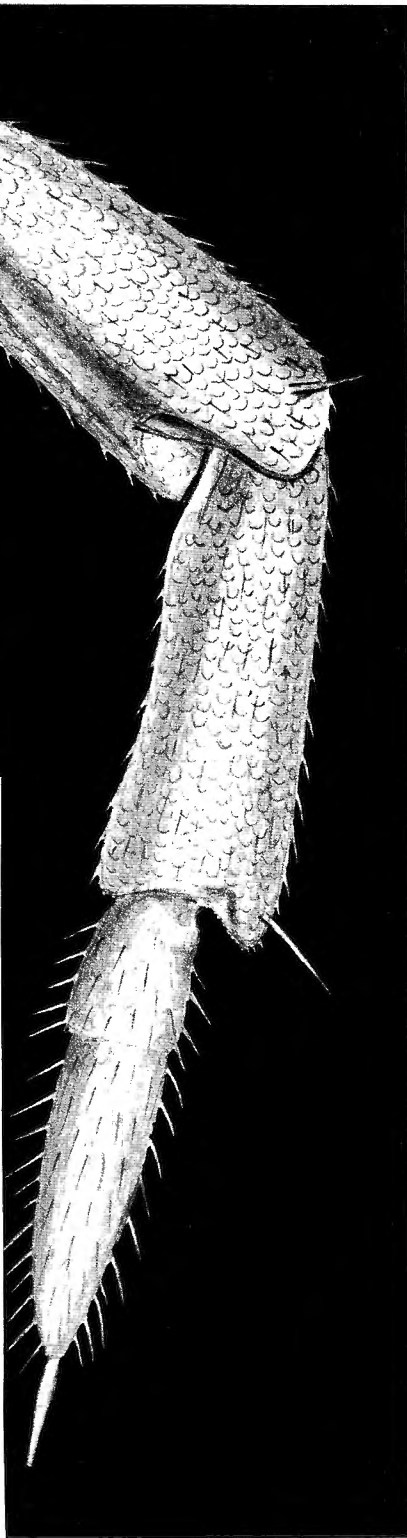


Fig. 146.



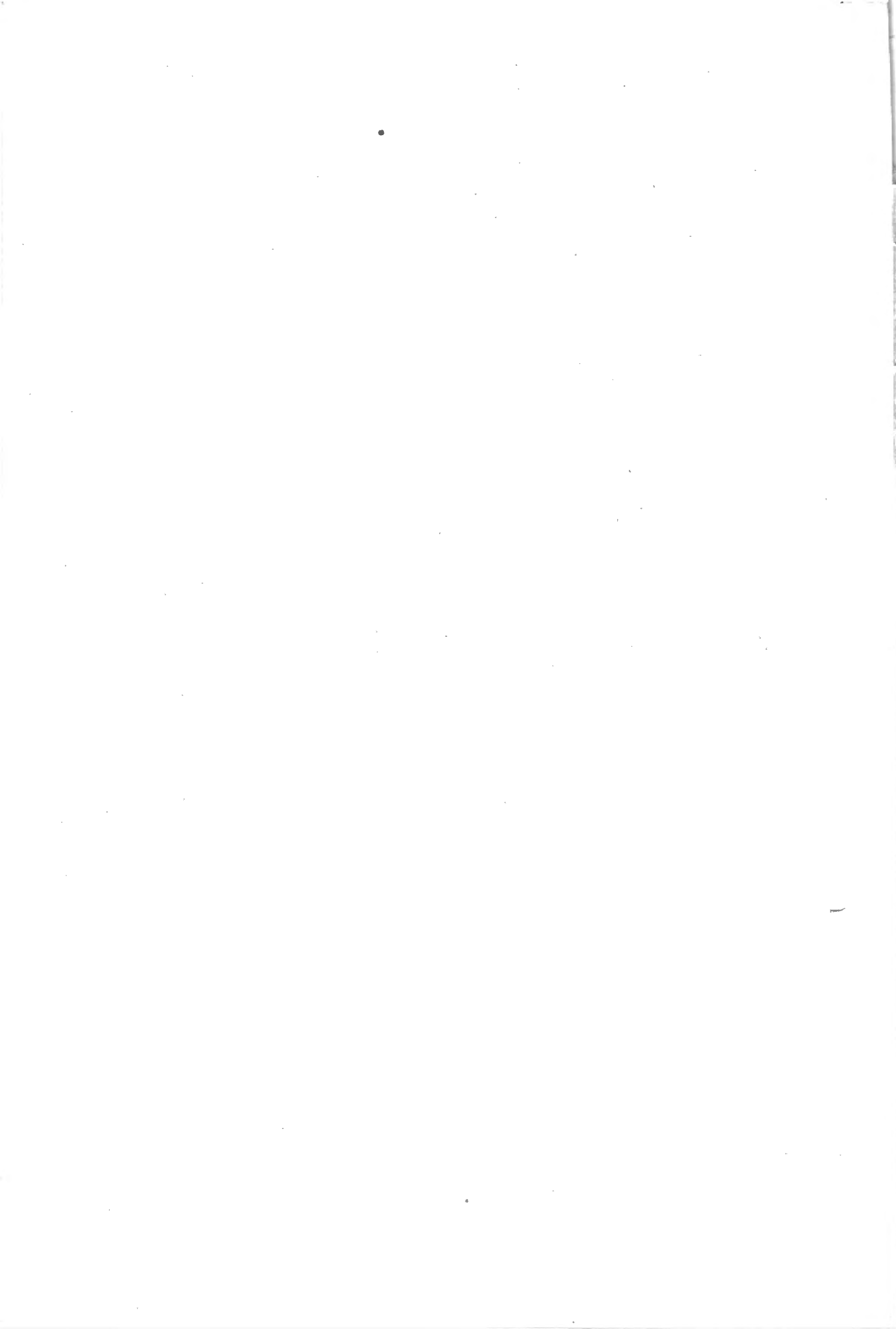


TAVOLA LXIX.

SPIEGAZIONE DELLE FIGURE.

Synurmadillo pallidus ARCANDELLI.

- Fig. 149. — Basipodite, iachipodite, metopodite e parte proximale del carpopodite del 7° pereopode del σ , visto dal lato rostrale (x 90).
- Fig. 150. — Exopodite del 1° pleopode destro del σ , visto dal lato rostrale (x 90).
- Fig. 151. — Parte distale dell'endopodite del 1° pleopode destro del σ , visto dal lato rostrale (x 440).
- A. ARCANDELLI del.

.XIXI AJOVAT

SPIEGAZIONE DELLE FIGURE.

Synarmadillo pallidus ARCANGELI.

- Fig. 149. — Basipodite, ischiopodite, meropodite e parte prossimale del carpopodite del 7° pereopode del σ , visto dal lato rostrale (x 90).
- Fig. 150. — Exopodite del 1° pleopode destro del σ , visto dal lato rostrale (x 90).
- Fig. 151. — Parte distale dell'endopodite del 1° pleopode destro del σ , visto dal lato rostrale (x 440).

A. ARCANGELI del.

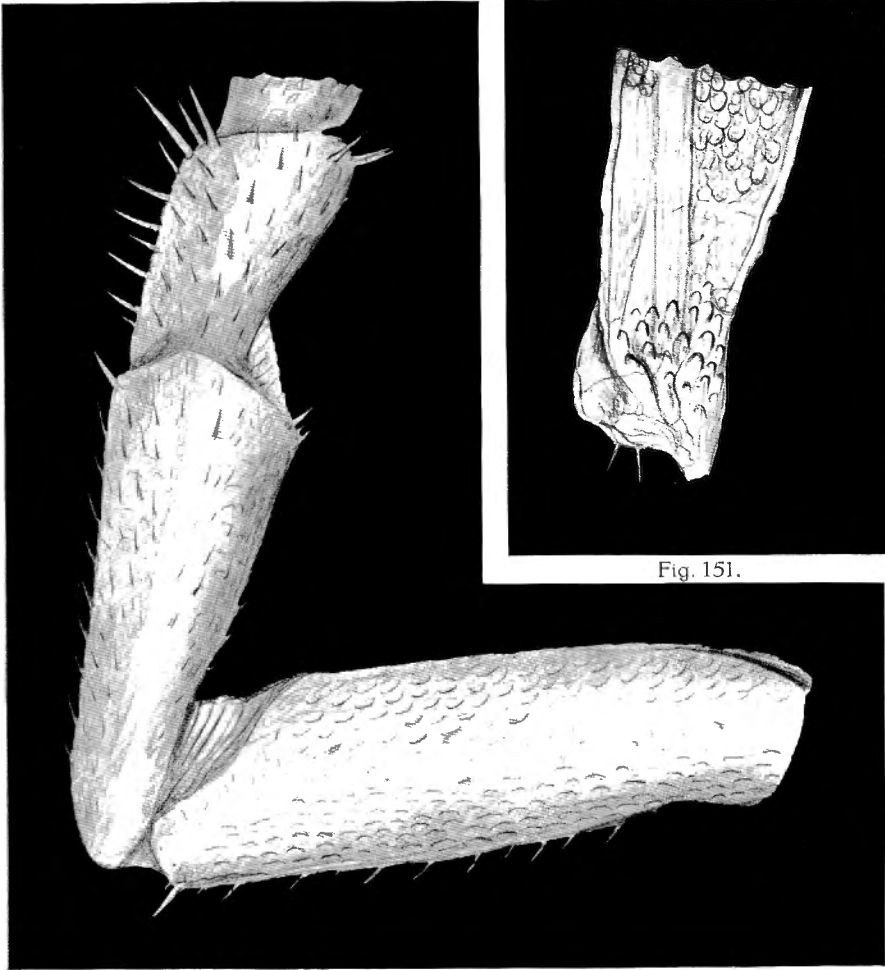


Fig. 149.

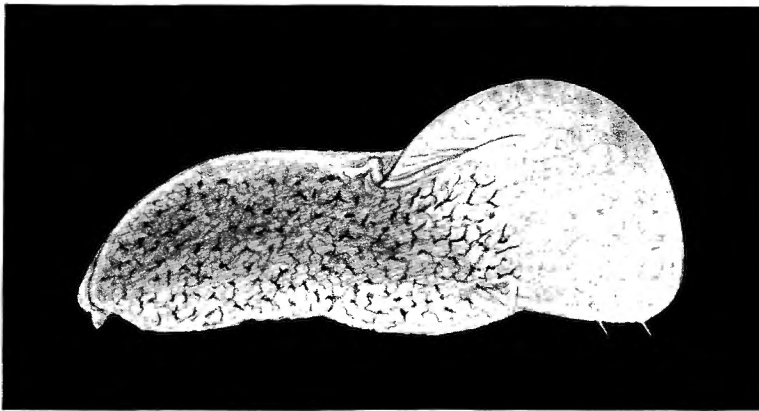


Fig. 150.



TAVOLA LXX.

SPIEGAZIONE DELLE FIGURE.

Mesarmadillo gracilipennis ARCANDELLI.

Fig. 152. — Cephalon e parte anteriore del 1° pereonite, visti dal dorso (x 29).

Fig. 153. — Epimere destro del 1° pereonite, visto di lato e dorsalmente (x 25).

Fig. 154. — 5° pleonite, pleotelson ed uropodi, visti dal dorso (x 24).

A. ARCANDELLI del.

.XXI AJOVAT

SPIEGAZIONE DELLE FIGURE.

Mesarmadillo gracilipennis ARCANGELI.

- Fig. 152. — Cephalon e parte anteriore del 1° pereionite, visti dal dorso (x 29).
- Fig. 153. — Epimere destro del 1° pereionite, visto di lato e dorsalmente (x 25).
- Fig. 154. — 5° pleonite, pleotelson ed uropodi, visti dal dorso (x 24).

A. ARCANGELI del.

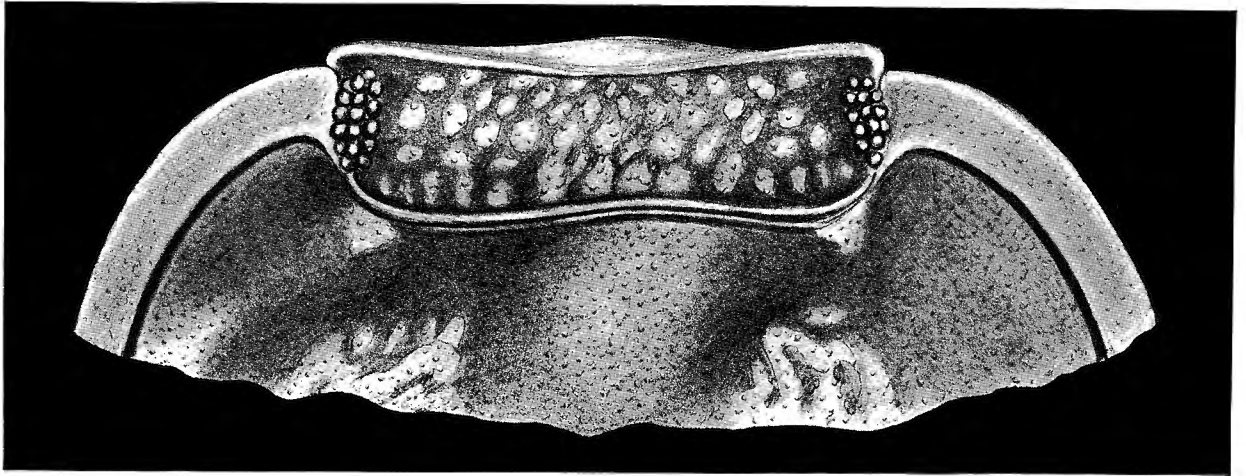


Fig. 152.

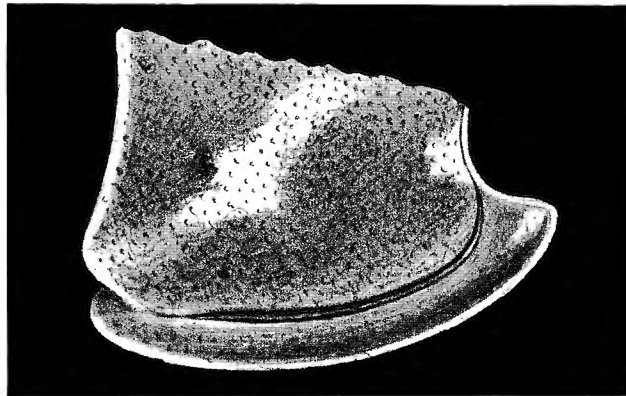


Fig. 153.

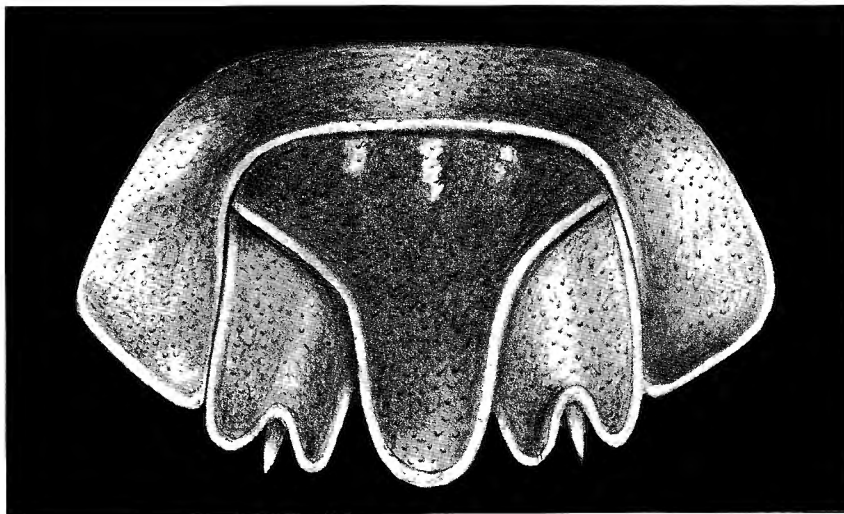


Fig. 154.



TAVOLA LXXI.

SPIEGATIONE DELLE FIGURE.

Mesarmadillo gracilipennis ARCANCELLI.

Fig. 155. — Estremità distale del 2° articolo dello scapo e flagello della antenna destra, vista dal lato ventrale (x 90).

Fig. 156. — Parte distale del basipodite, ischiopodite, meropodite e parte proximale del carpodite del 7° pereopode destro del ♂, visti dal lato rostrale (x 90).

Fig. 157. — Exopodite del 1° pleopode destro del ♂, visto dal lato rostrale (x 90).

A. ARCANCELLI del.

.LXXXI AJOVAT

SPIEGAZIONE DELLE FIGURE.

Mesarmadillo gracilipennis ARCANGELI.

- Fig. 155. — Estremita distale del 5° articolo dello scapo e flagello della antenna destra, vista dal lato ventrale (x 90).
- Fig. 156. — Parte distale del basipodite, ischiopodite, meropodite e parte prossimale del carpopodite del 7° pereopode destro del σ , visti dal lato rostrale (x 90).
- Fig. 157. — Exopodite del 1° pleopode destro del δ , visto dal lato rostrale (x 90).

A. ARCANGELI del.



Fig. 155.

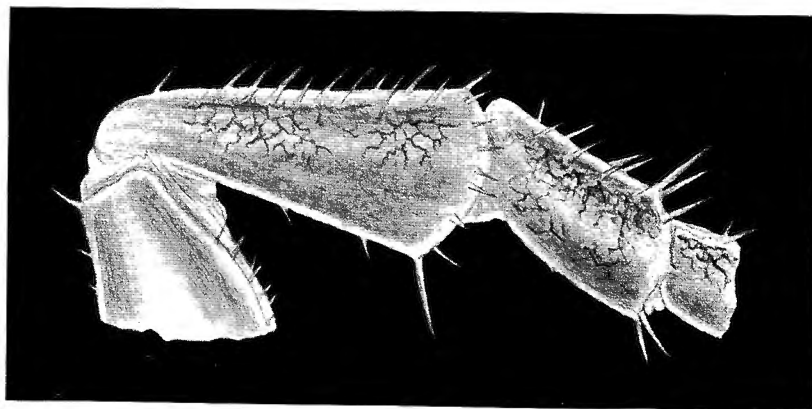


Fig. 156.

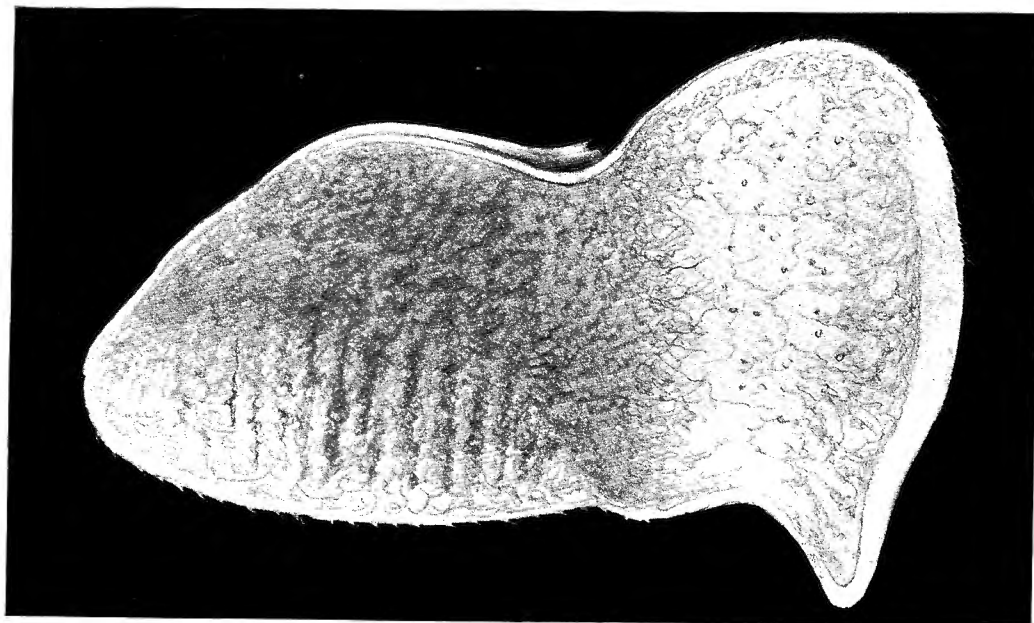


Fig. 157.



TAVOLA LXXII.

SPIEGAZIONE DELLE FIGURE.

Mesurmodillo gracilipennis ARCANCELLI.

Fig. 158. — Exopodite del 1° pleopode destro della ♀
visto dal lato rostrale (x 90).

Mesurmodillo kiouensis ARCANCELLI.

Fig. 159. — Cephalon e parte anteriore del 1° pereopodite, visti dal dorso (x 27).

A. ARCANCELLI del.

.IIXX.I AJOVAT

SPIEGAZIONE DELLE FIGURE.

Mesarmadillo gracilipennis ARCANGELI.

Fig. 158. — Exopodite del 1° pleopode destro della ♀,
visto dal lato rostrale (x 90).

Mesarmadillo kivuensis ARCANGELI.

Fig. 159. — Cephalon e parte anteriore del 1° pereopode,
visti dal dorso (x 27).

A. ARCANGELI del.

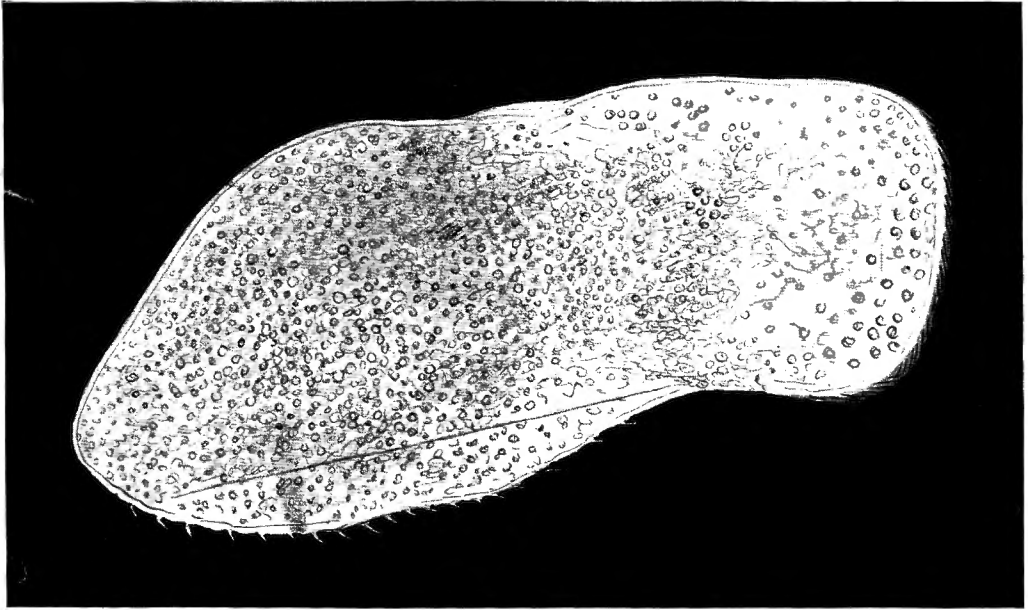


Fig. 158.

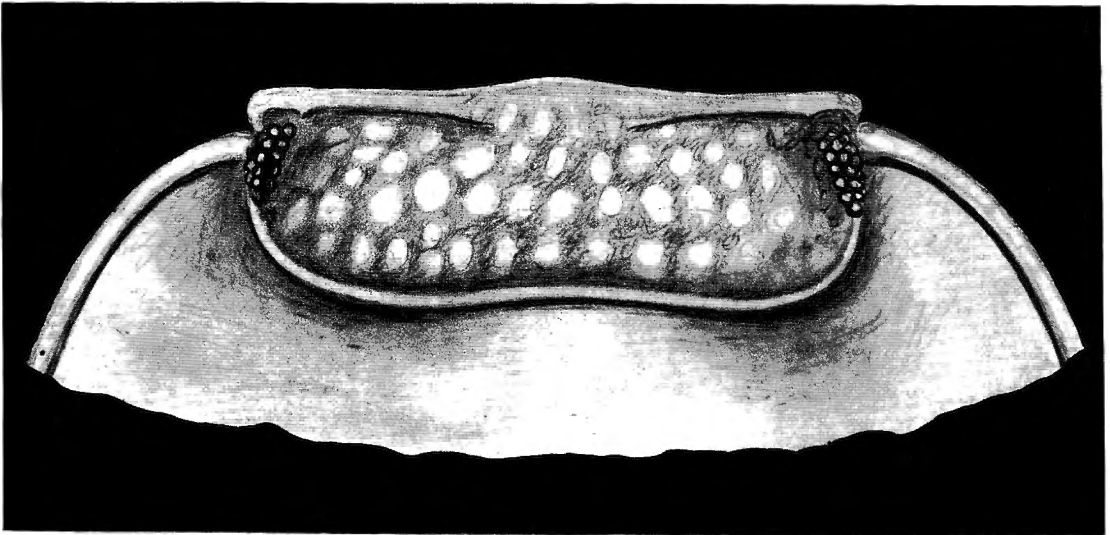


Fig. 159.

TAVOLA LXXIII.

SPIEGAZIONE DELLE FIGURE.

Mesarmadillo kionensis ARCANCELLI.

Fig. 100. — Epimere destro del 1° perioniate, visto di lato e dorsalmente (x 20).

Fig. 101. — 5° pleonite, pleotelson ed uropodi, visti dal dorso (x 20).

Fig. 102. — Parte distale del basipodite, ischiopodite e parte proximale del meropodite del 7° perionio destro del σ , visto dal lato laterale (x 20).

A. ARCANCELLI del.

.IIIXXI AJOVAT

SPIEGAZIONE DELLE FIGURE.

Mesarmadillo kivuensis ARCANGELI.

- Fig. 160. — Epimere destro del 1° pereioniste, visto di lato e dorsalmente (x 20).
- Fig. 161. — 5° pleonite, pleotelson ed uropodi, visti dal dorso (x 20).
- Fig. 162. — Parte distale del basipodite, ischiopodite e parte prossimale del meropodite del 7° pereopode destro del σ , visto dal lato rostrale (x 90).

A. ARCANGELI del.

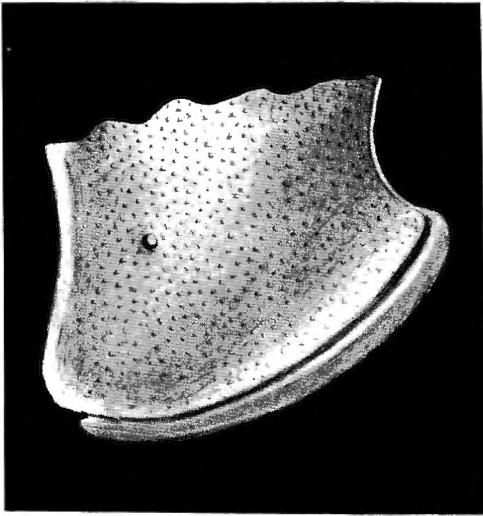


Fig. 160.

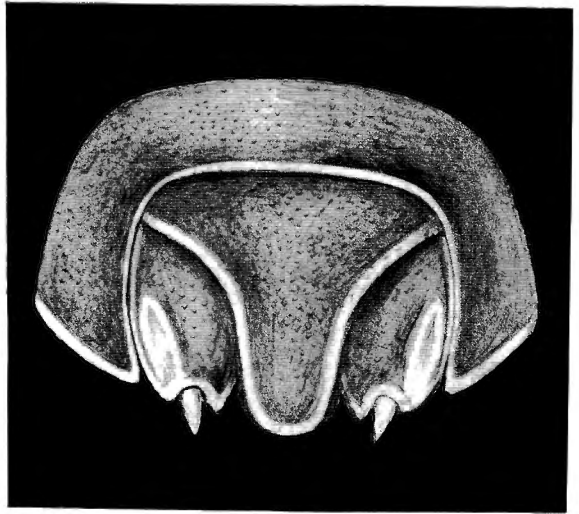


Fig. 161.

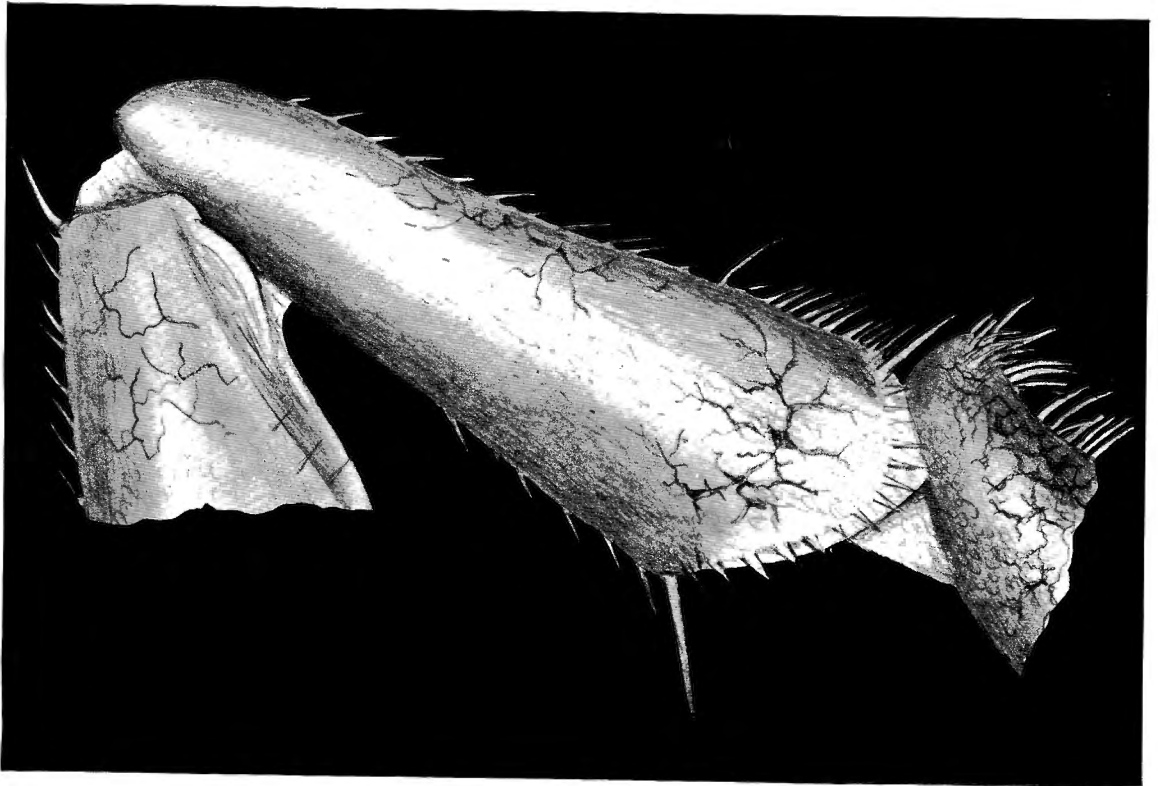


Fig. 162.



TAVOLA LXXIV.

SPIEGAZIONE DELLE FIGURE.

Mesarmadillo kionensis ARCANDELLI.

Fig. 163. — Exopodite del 1° pleopode destro del ♂
visto dal lato rostrale (x 90).

A. ARCANDELLI del.

VIXXI AJOVAT

SPIEGAZIONE DELLE FIGURE.

Mesarmadillo kivuensis ARCANGELI.

Fig. 163. — Exopodite del 1° pleopode destro del σ ;
visto dal lato rostrale ($\times 90$).

A. ARCANGELI del.

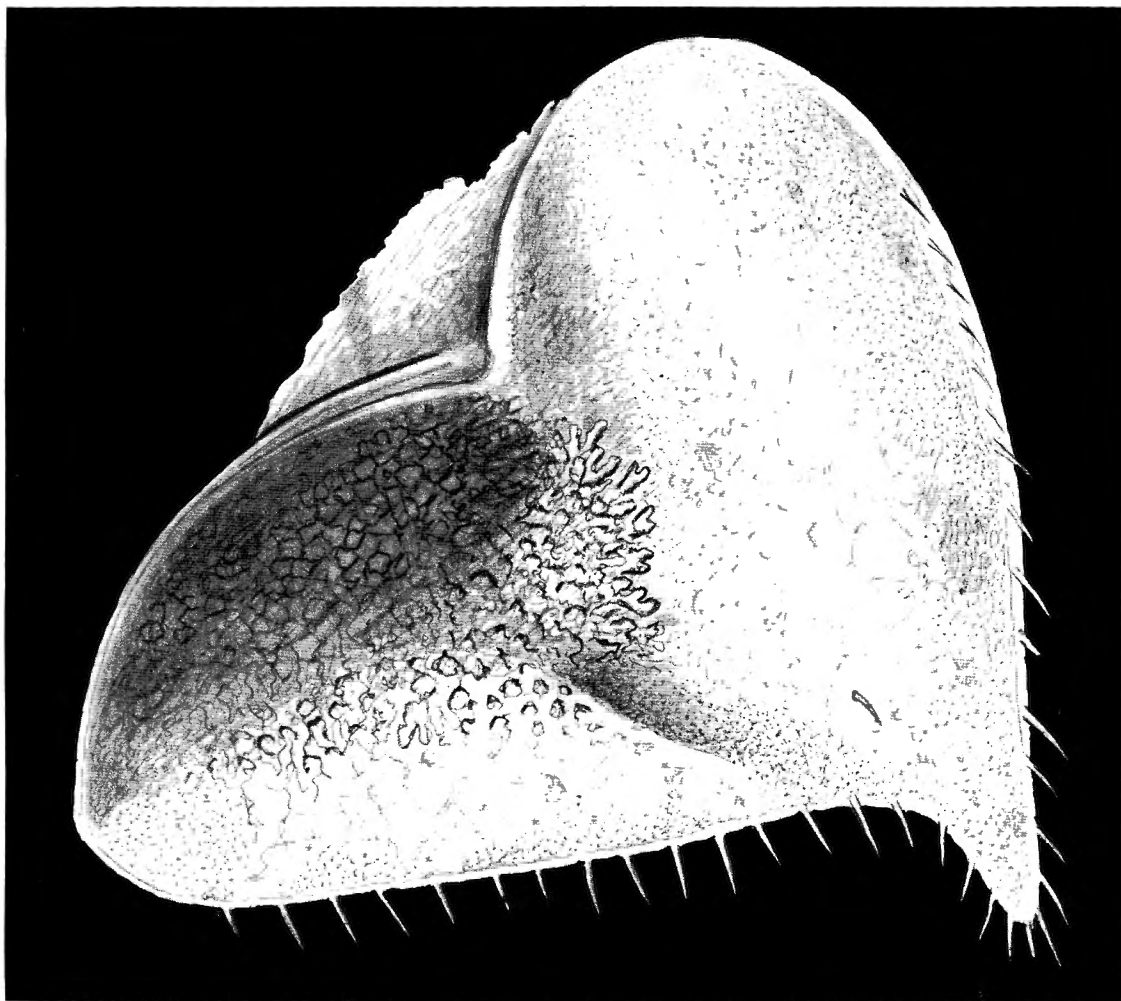


Fig. 163.



TAVOLA LXXV.

SPIEGAZIONE DELLE FIGURE.

Mesembryanthemum finensis ARCANDELLI.

Fig. 164. — Exopodite del 1° pleopode destro della ♀
visto dal lato rostrale (x 20).

A. ARCANDELLI del.

.VXXXI AJOVAT

SPIEGAZIONE DELLE FIGURE.

Mesarmadillo kivuensis ARCANGELI.

Fig. 164. — Exopodite del 1° pleopode destro della ♀,
visto dal lato rostrale (x 90).

A. ARCANGELI del.

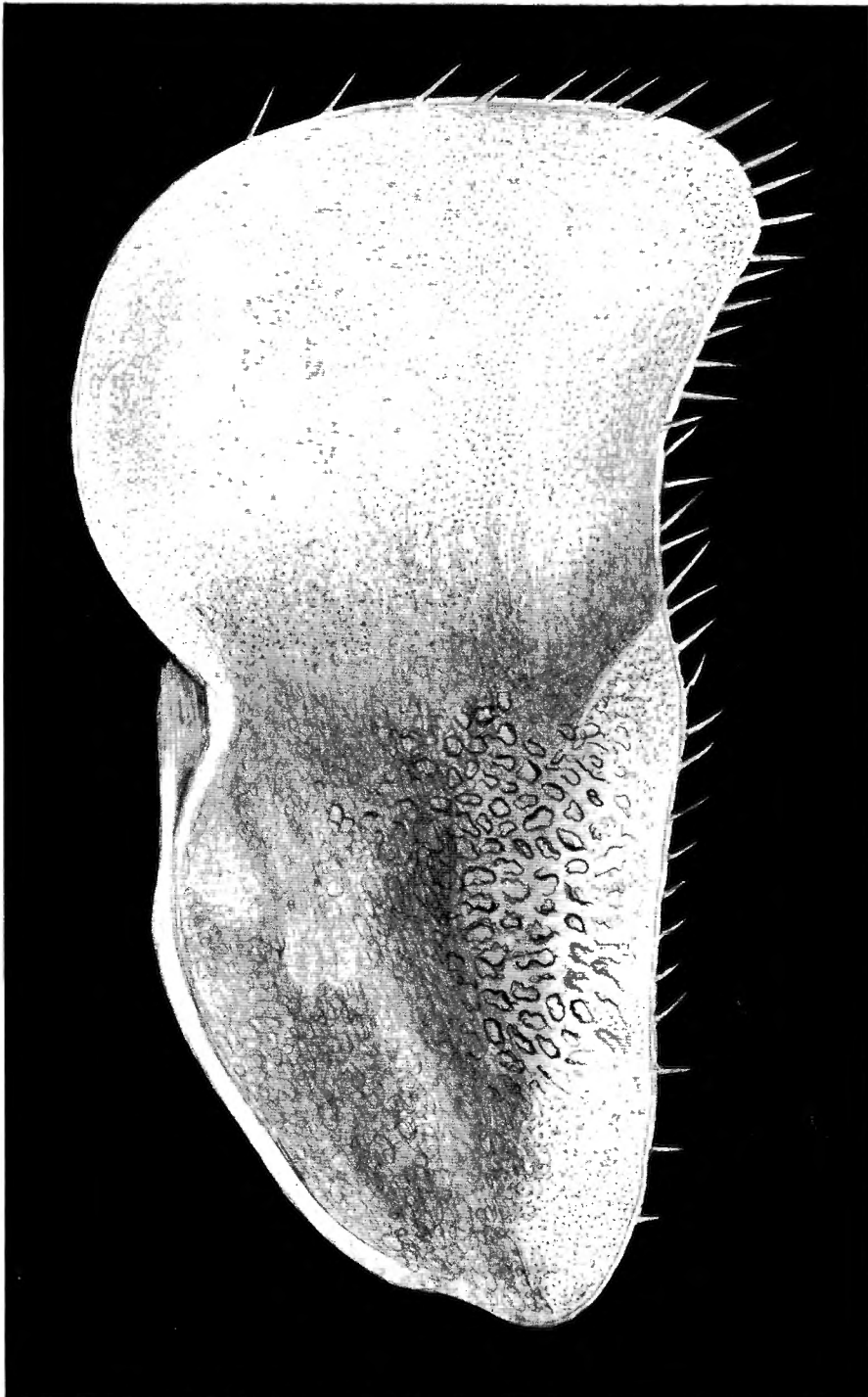


Fig. 164.

